

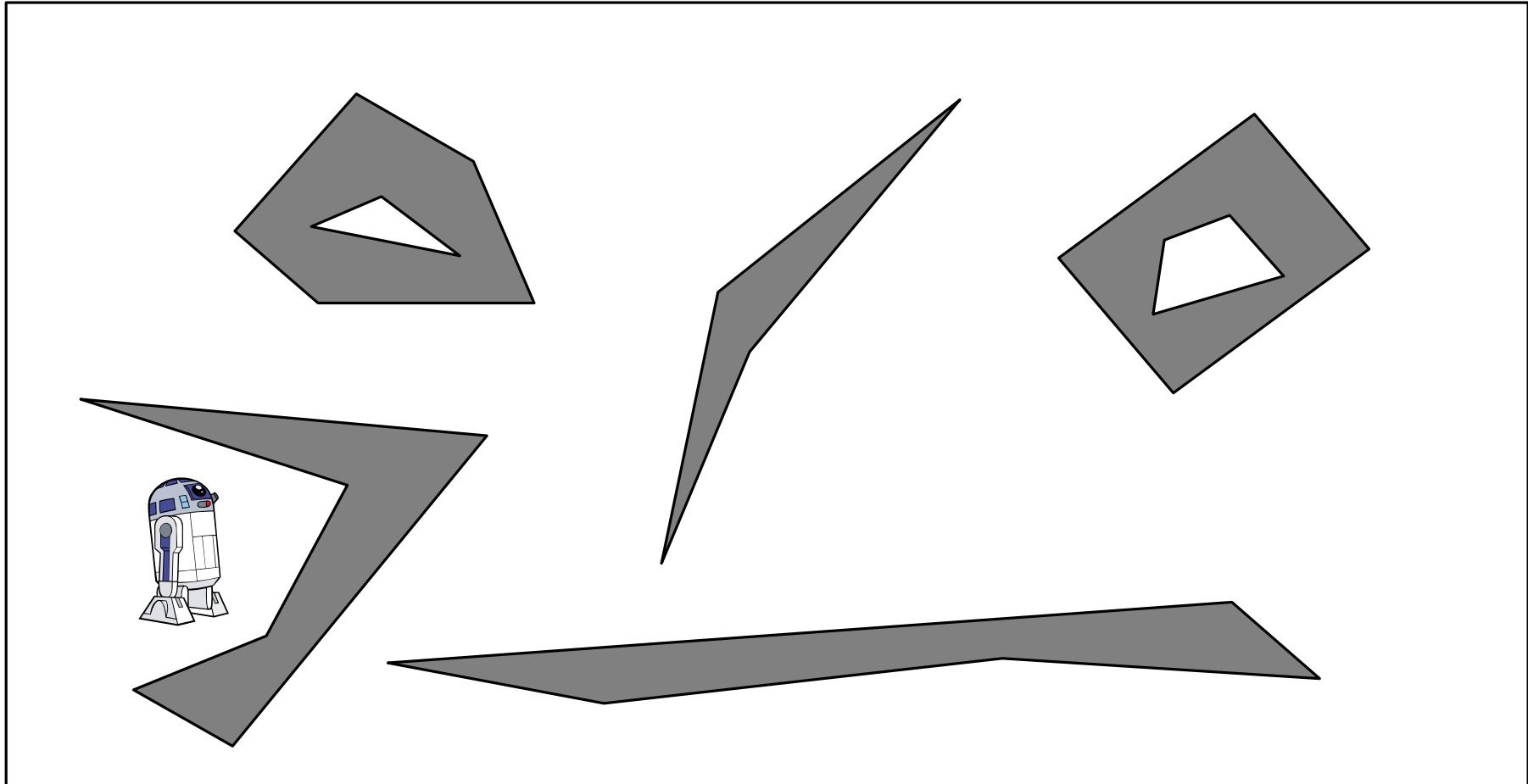
Vorlesung Algorithmische Geometrie

Sichtbarkeitsgraphen

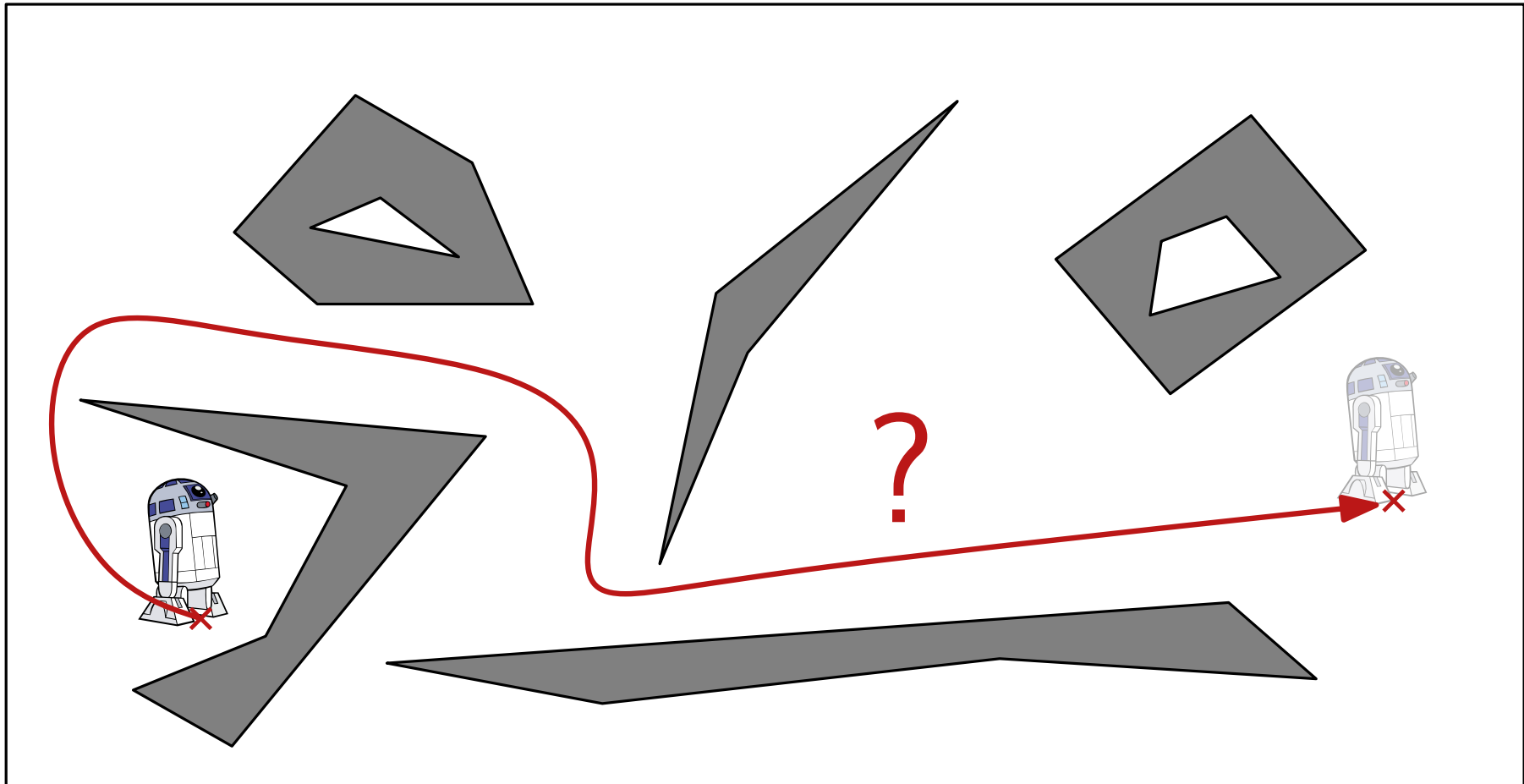
LEHRSTUHL FÜR ALGORITHMIK I · INSTITUT FÜR THEORETISCHE INFORMATIK · FAKULTÄT FÜR INFORMATIK

Martin Nöllenburg
12.07.2011

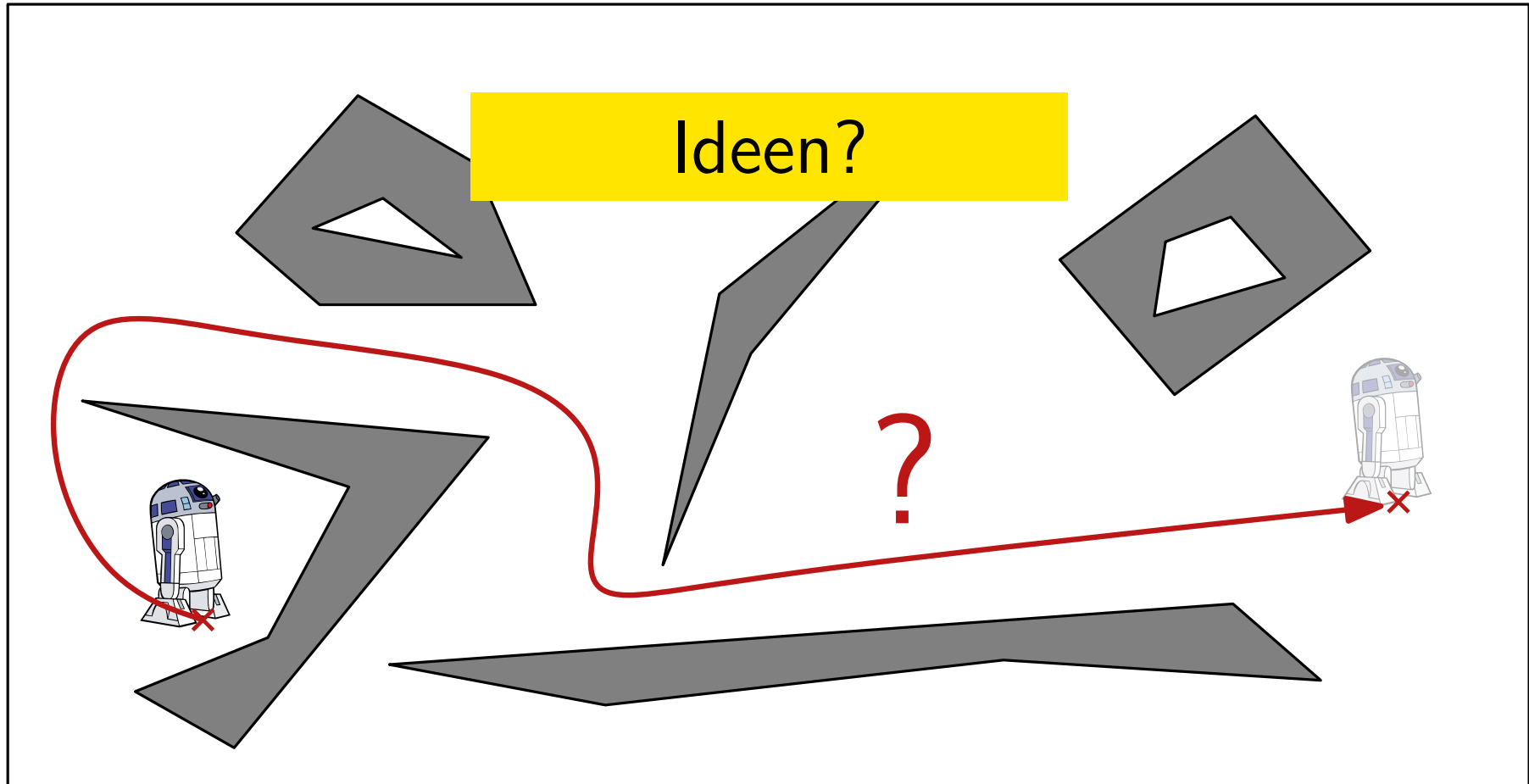




Problem: Gegeben ein (punktförmiger) Roboter an Position p_{start} in einem Gebiet mit polygonalen Hindernissen



Problem: Gegeben ein (punktförmiger) Roboter an Position p_{start} in einem Gebiet mit polygonalen Hindernissen finde einen möglichst kurzen Weg zum Ziel p_{ziel} um die Hindernisse herum.

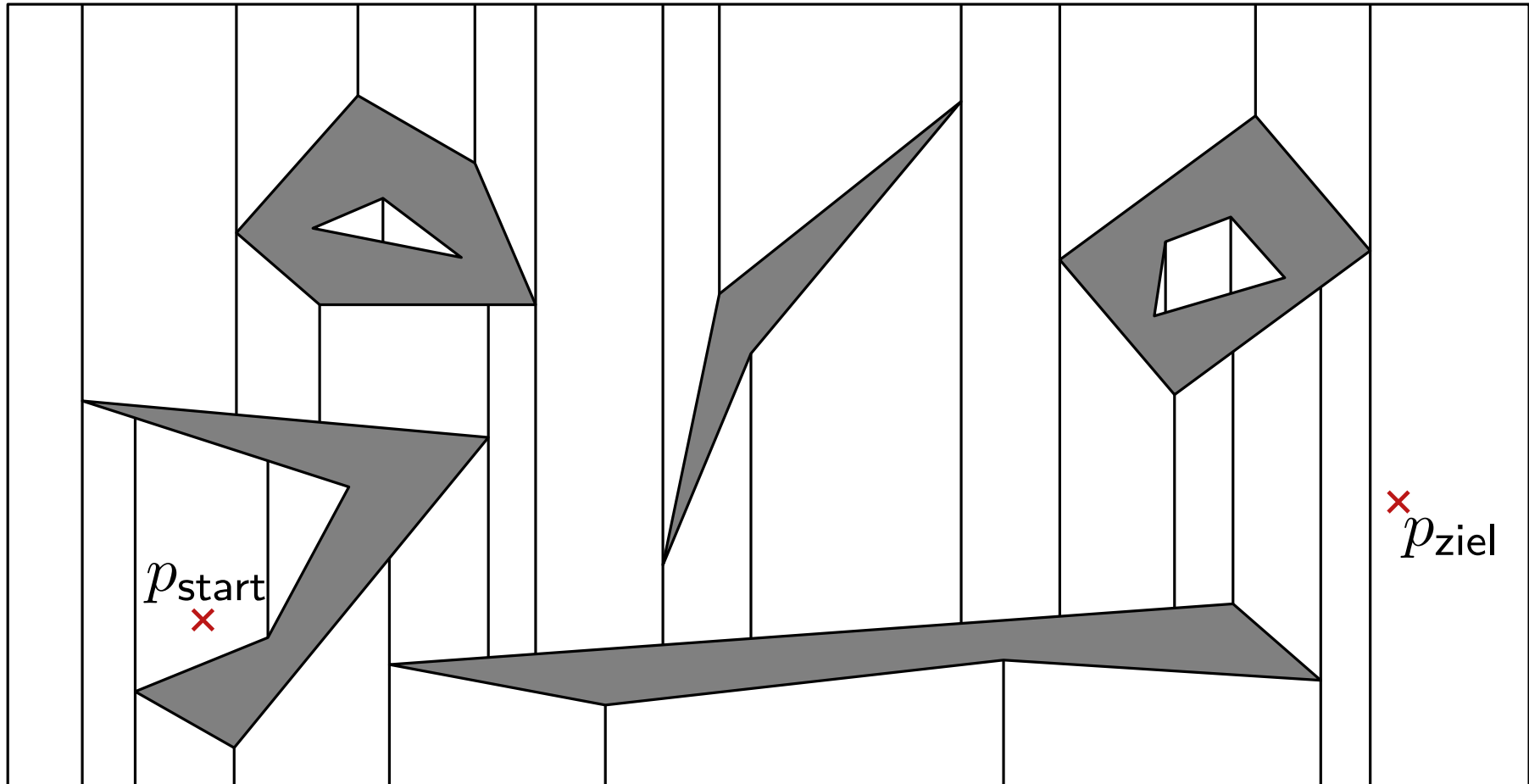


Problem: Gegeben ein (punktförmiger) Roboter an Position p_{start} in einem Gebiet mit polygonalen Hindernissen finde einen möglichst kurzen Weg zum Ziel p_{ziel} um die Hindernisse herum.

Erste Idee: Kürzeste Wege in Graphen

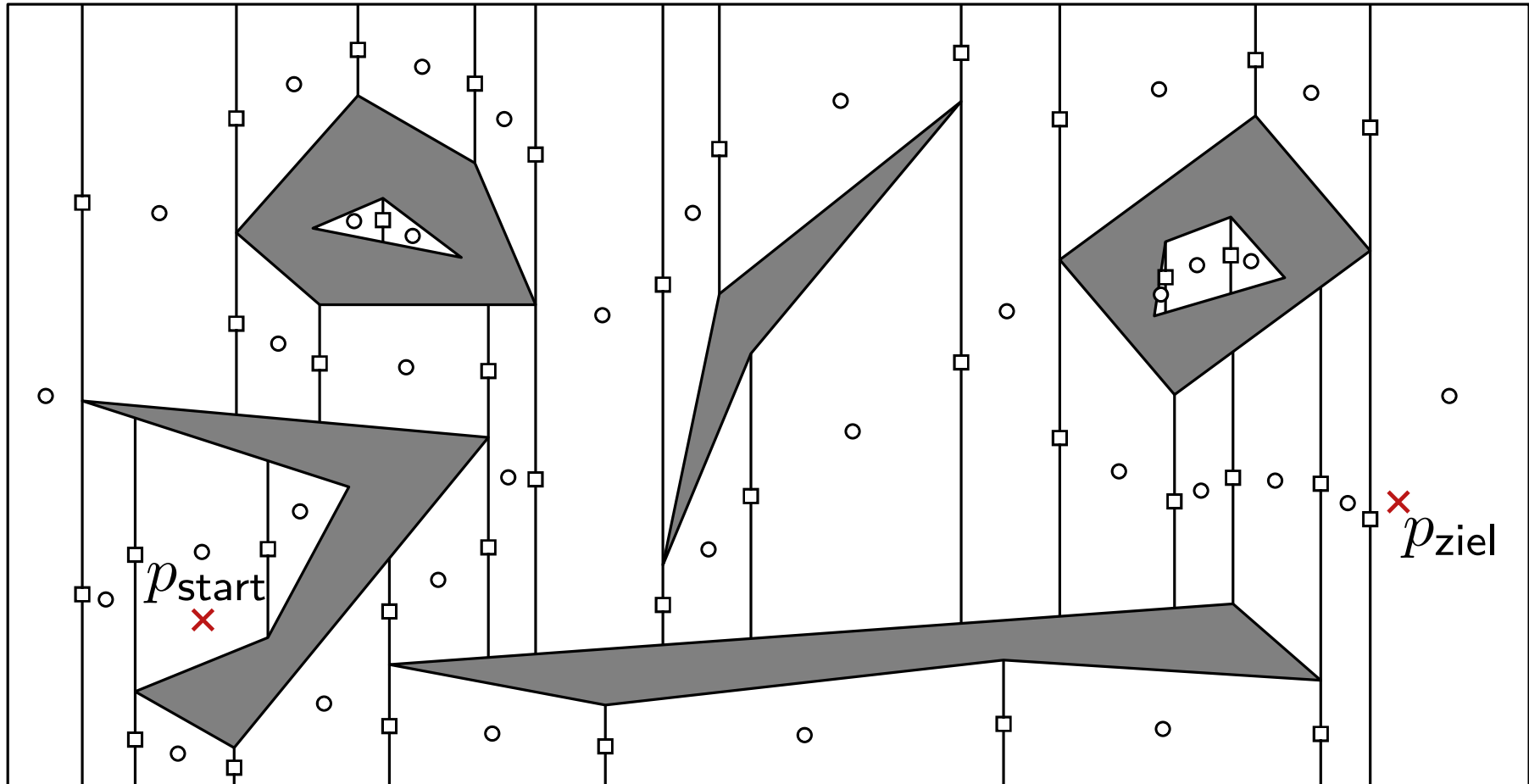


Erste Idee: Kürzeste Wege in Graphen



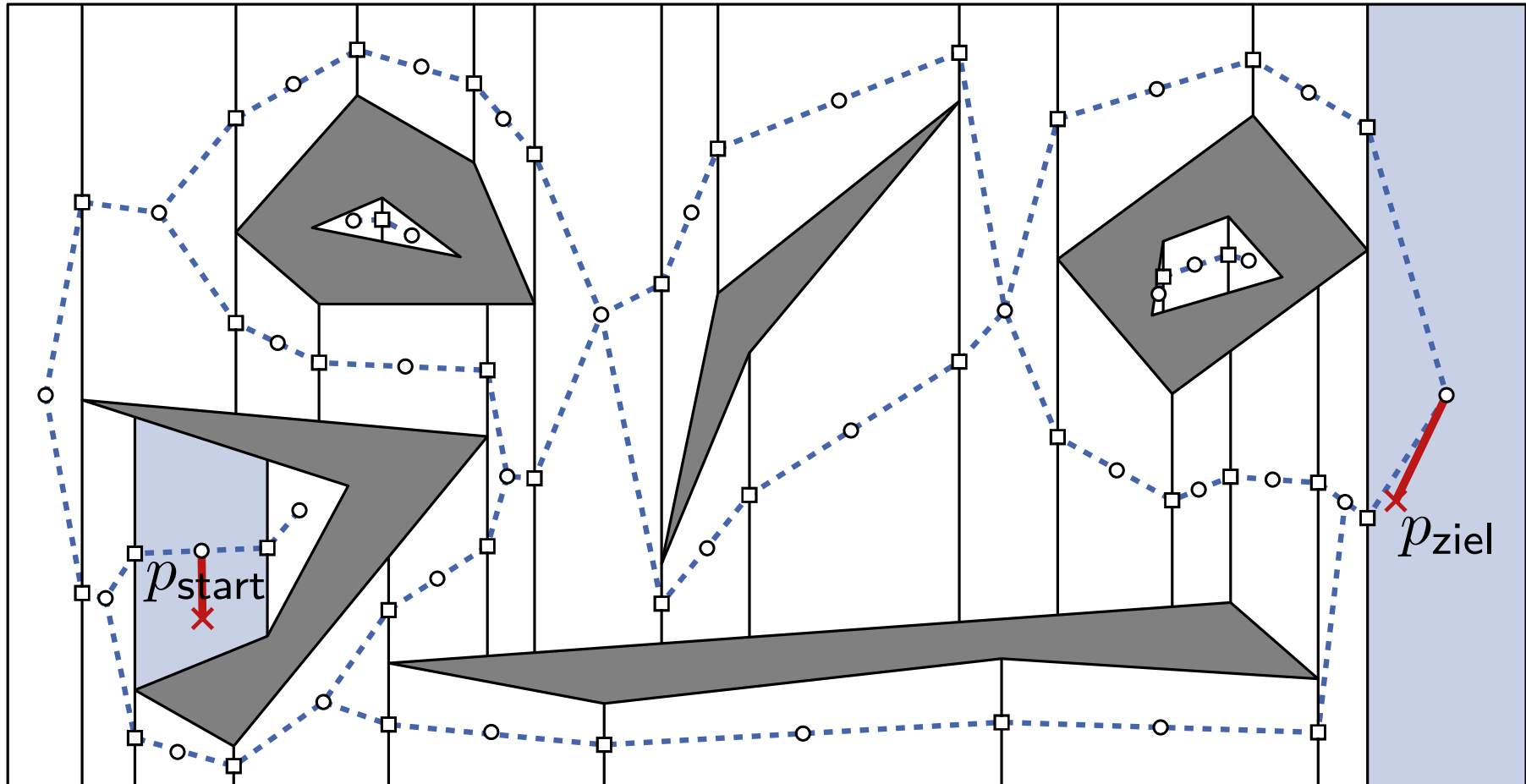
- erstelle Trapezzerlegung
- entferne Segmente in Hindernissen

Erste Idee: Kürzeste Wege in Graphen



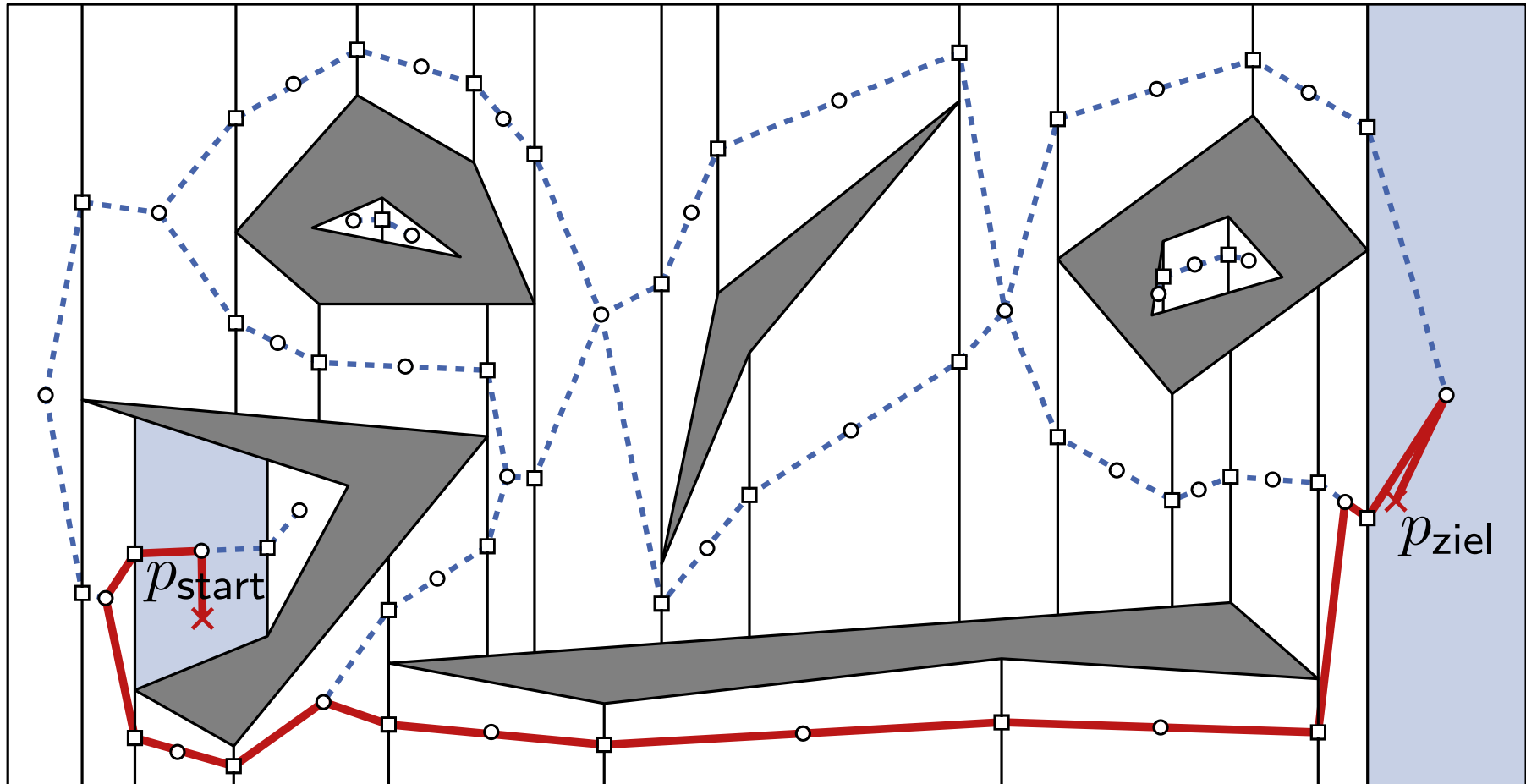
- erstelle Trapezzerlegung
- entferne Segmente in Hindernissen
- Knoten in Trapezen und Vertikalen

Erste Idee: Kürzeste Wege in Graphen



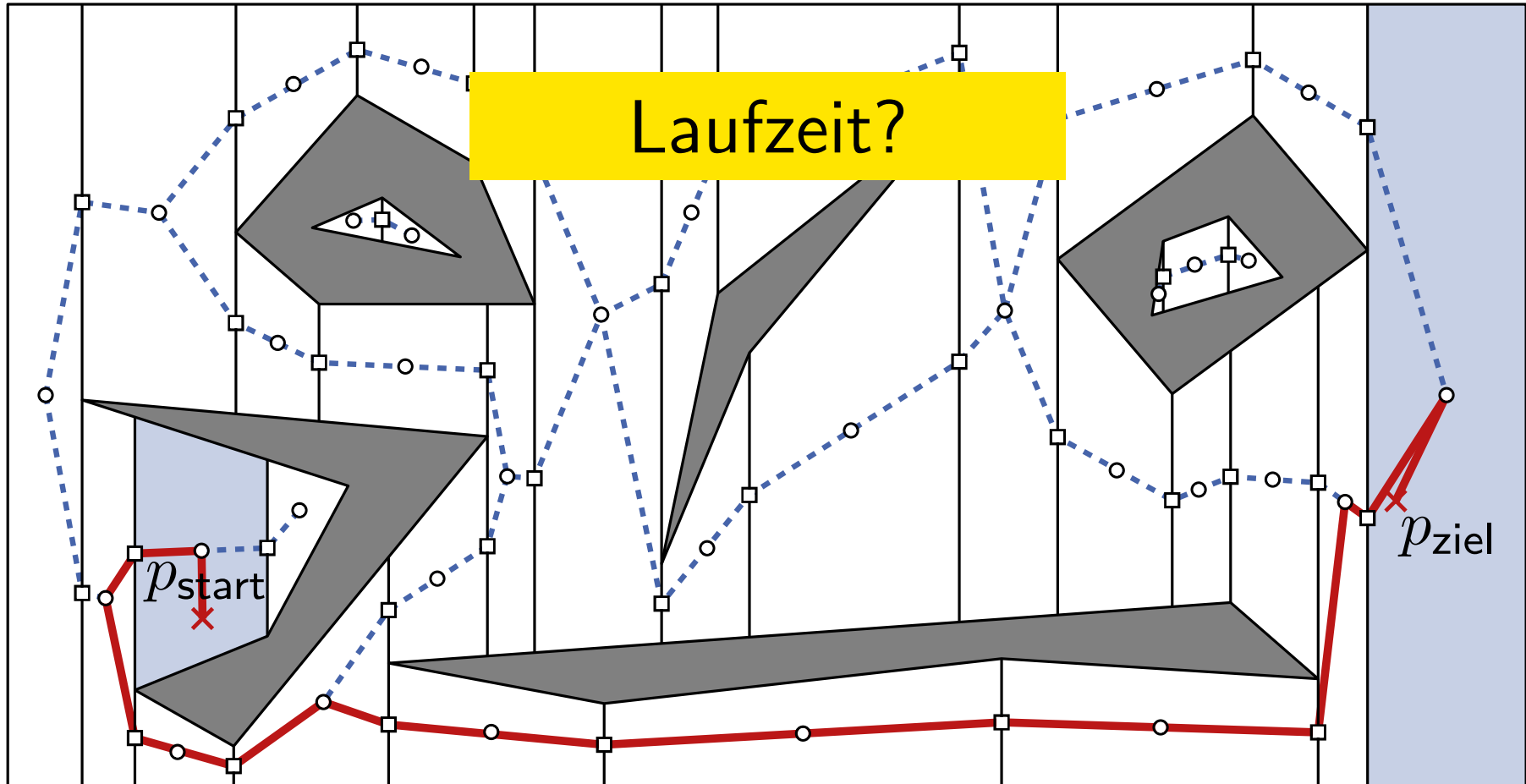
- erstelle Trapezzerlegung
- entferne Segmente in Hindernissen
- Knoten in Trapezen und Vertikalen
- euklidisch gewichteter „Dualgraph“ G mit Viaknoten auf Vertikalen
- Lokalisierere Start und Ziel

Erste Idee: Kürzeste Wege in Graphen



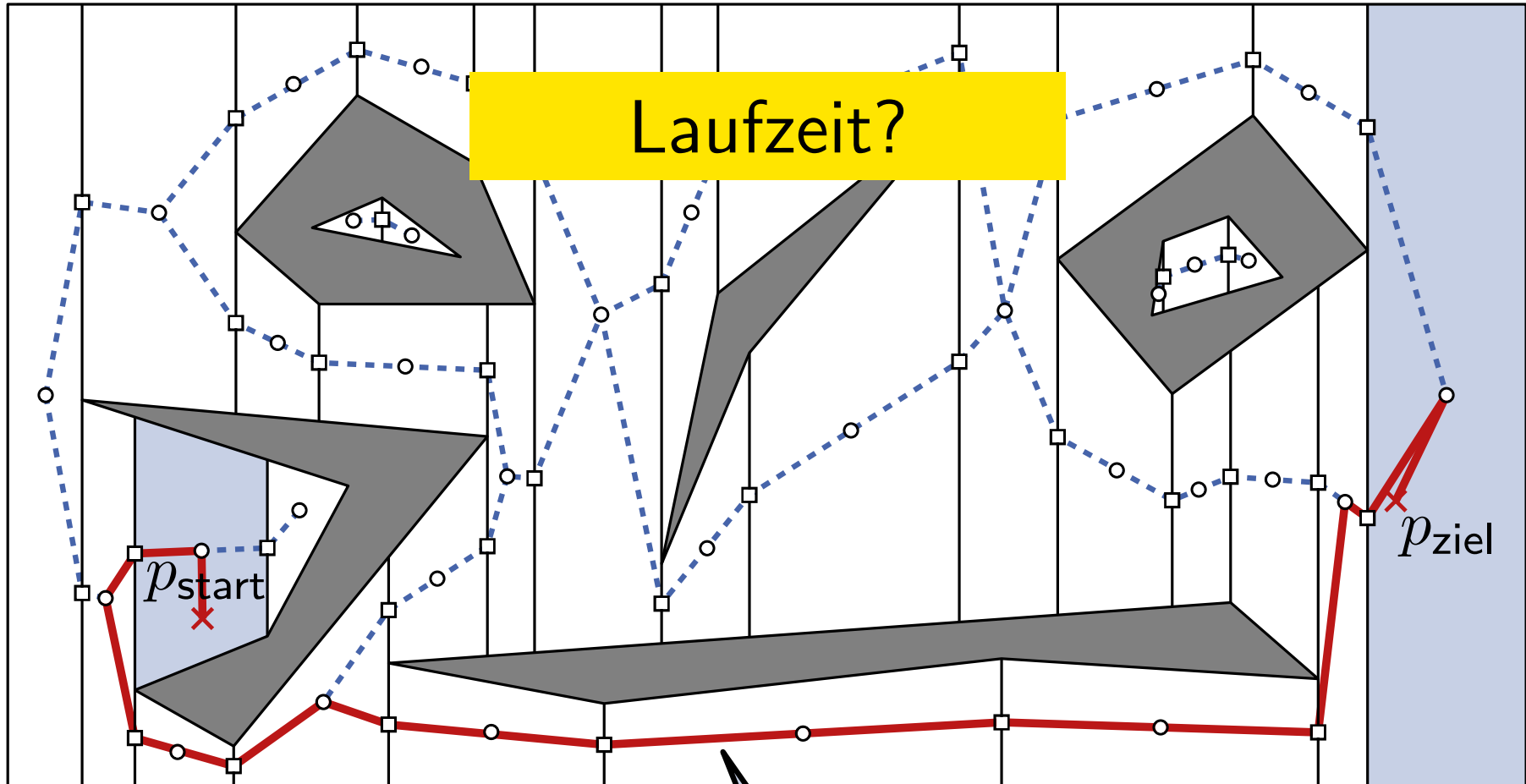
- erstelle Trapezzerlegung
- entferne Segmente in Hindernissen
- Knoten in Trapezen und Vertikalen
- euklidisch gewichteter „Dualgraph“ G mit Viaknoten auf Vertikalen
- Lokalisierere Start und Ziel
- kürzester Weg mit Dijkstra in G

Erste Idee: Kürzeste Wege in Graphen



- erstelle Trapezzerlegung
- entferne Segmente in Hindernissen
- Knoten in Trapezen und Vertikalen
- euklidisch gewichteter „Dualgraph“ G mit Viaknoten auf Vertikalen
- Lokalisierere Start und Ziel
- kürzester Weg mit Dijkstra in G

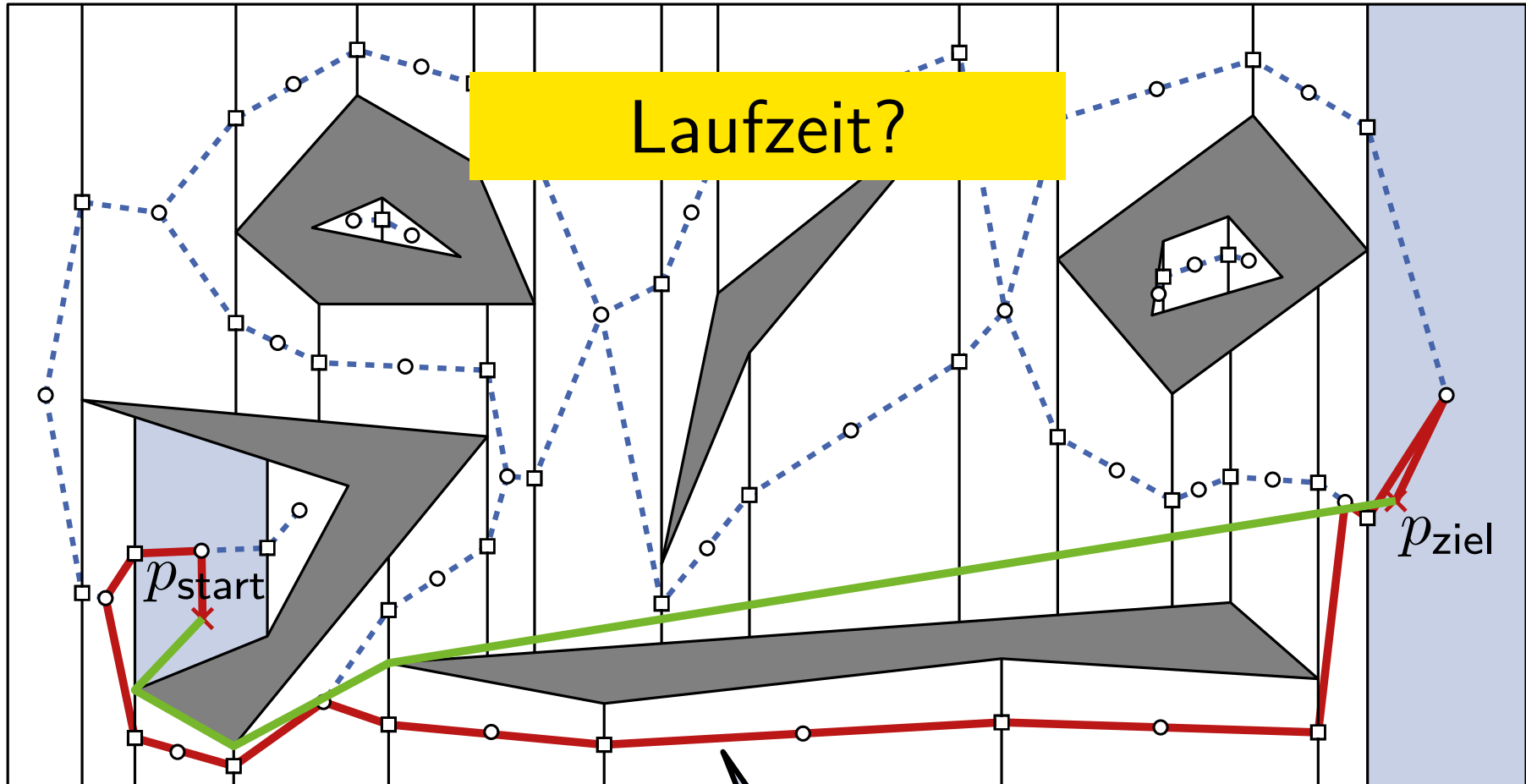
Erste Idee: Kürzeste Wege in Graphen



- erstelle Trapezzerlegung
 - entferne Segmente in Hindernissen
 - Knoten in Trapezen und Vertikalen
 - euklidisch gewichteter „Dualgraph“ G mit Viaknoten auf Vertikalen
- Lokalisierere Start und Ziel
kürzester Weg mit Dijkstra in G

kein kürzester Weg!

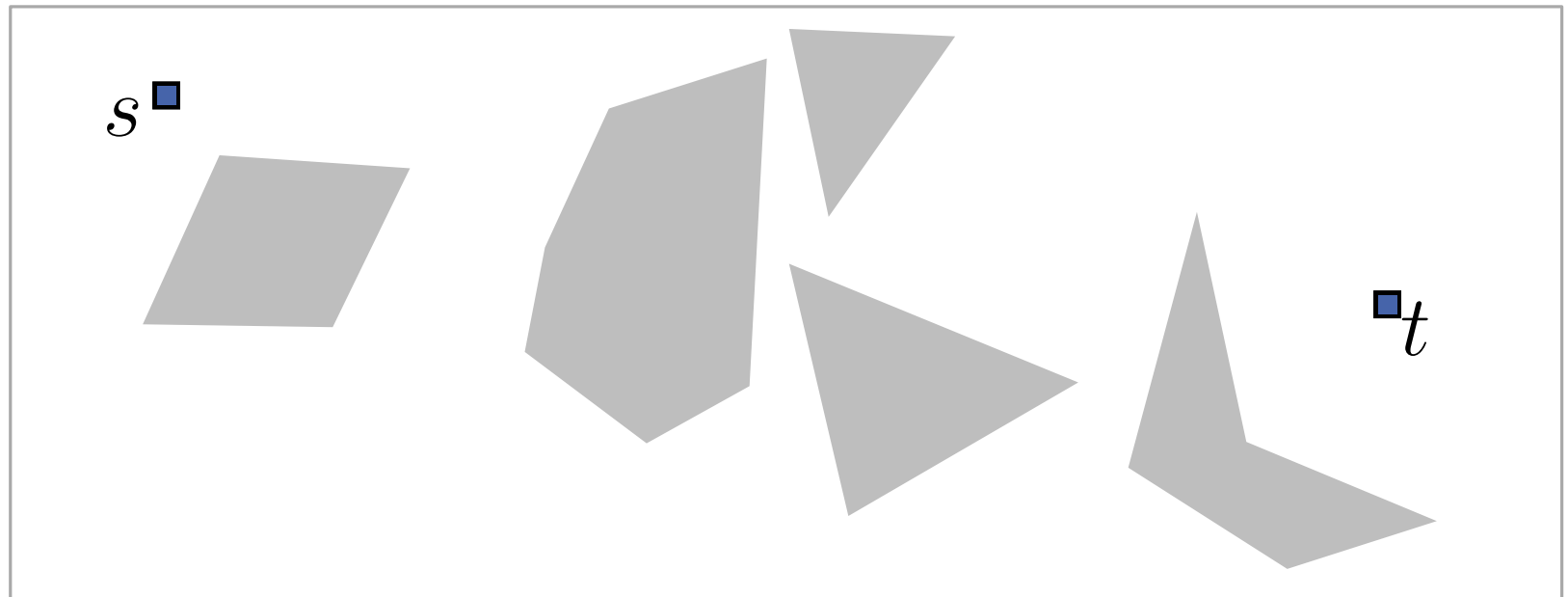
Erste Idee: Kürzeste Wege in Graphen



- erstelle Trapezzerlegung
 - entferne Segmente in Hindernissen
 - Knoten in Trapezen und Vertikalen
 - euklidisch gewichteter „Dualgraph“ G mit Viaknoten auf Vertikalen
- kein kürzester Weg!
- Lokalisierere Start und Ziel
■ kürzester Weg mit Dijkstra in G

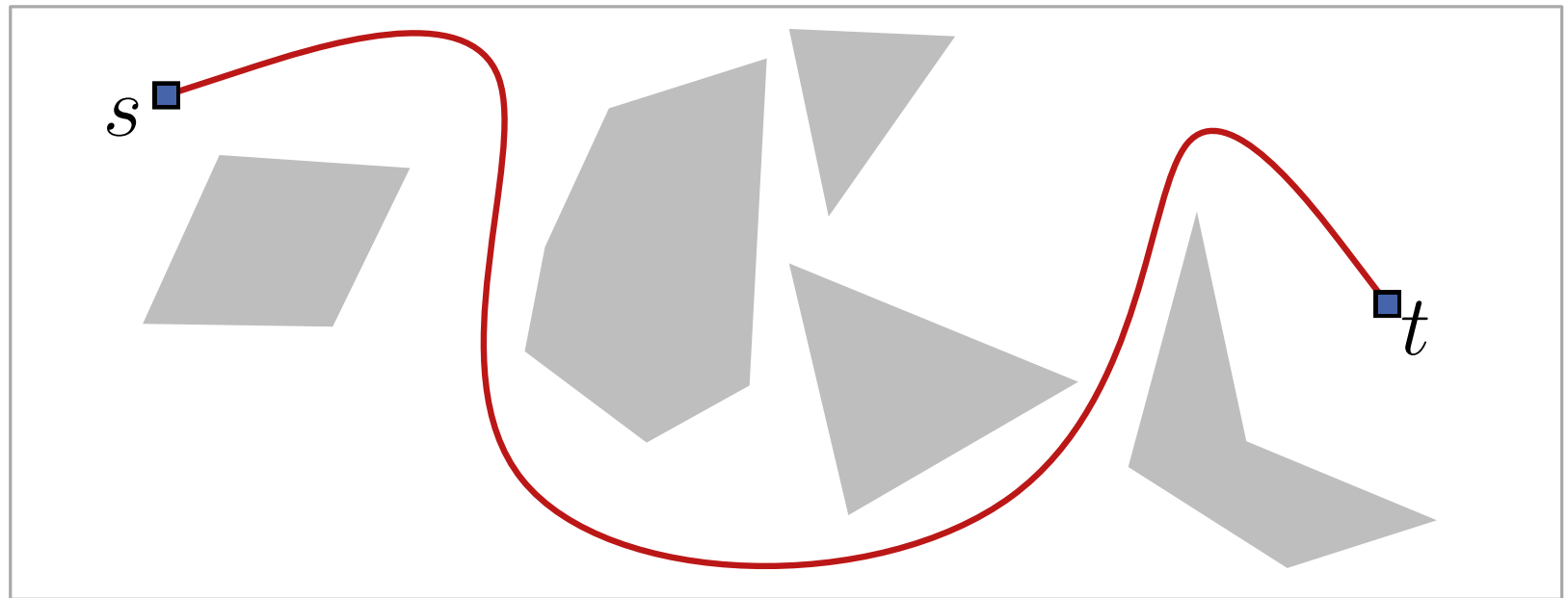
Kürzeste Wege in Polygonegebieten

Lemma 1: Für eine Menge S von disjunkten Polygonen in \mathbb{R}^2 und zwei Punkte s und t außerhalb S



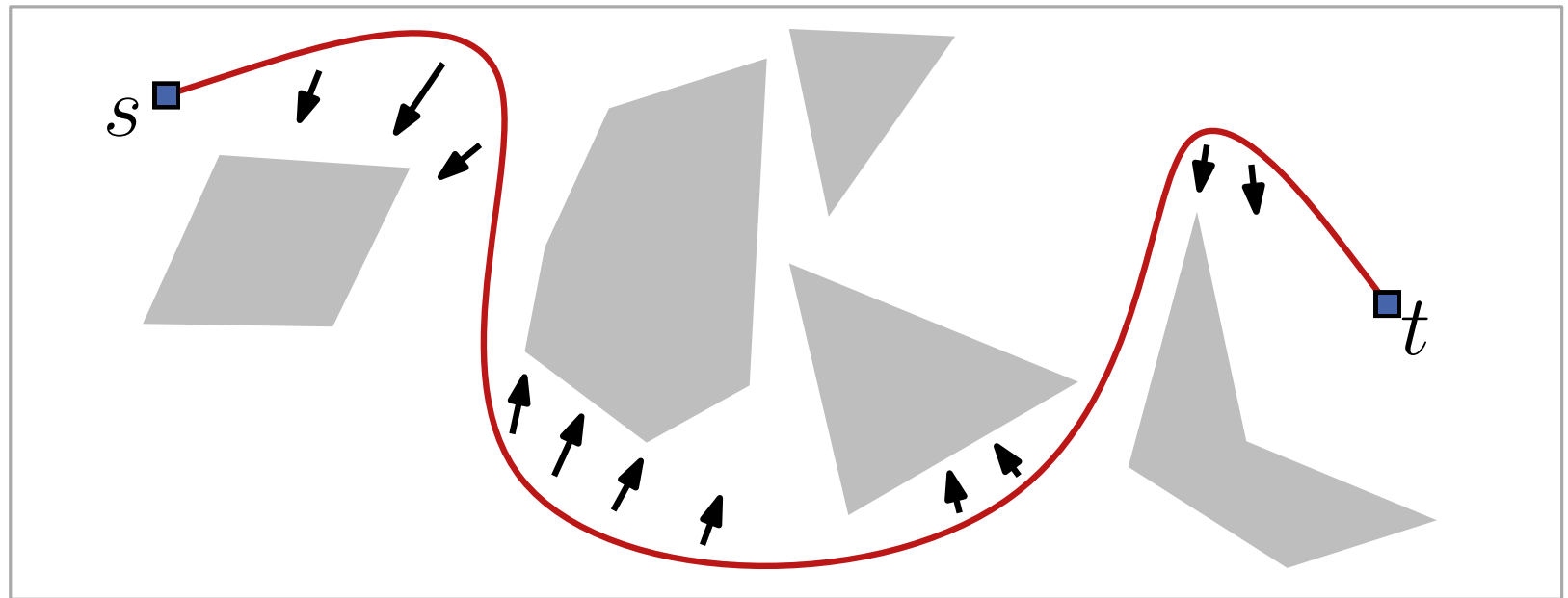
Kürzeste Wege in Polygonegebieten

Lemma 1: Für eine Menge S von disjunkten Polygonen in \mathbb{R}^2 und zwei Punkte s und t außerhalb S ist jeder kürzeste st -Weg in $\mathbb{R}^2 \setminus \bigcup S$ ein Polygonzug dessen innere Knoten Knoten von S sind.



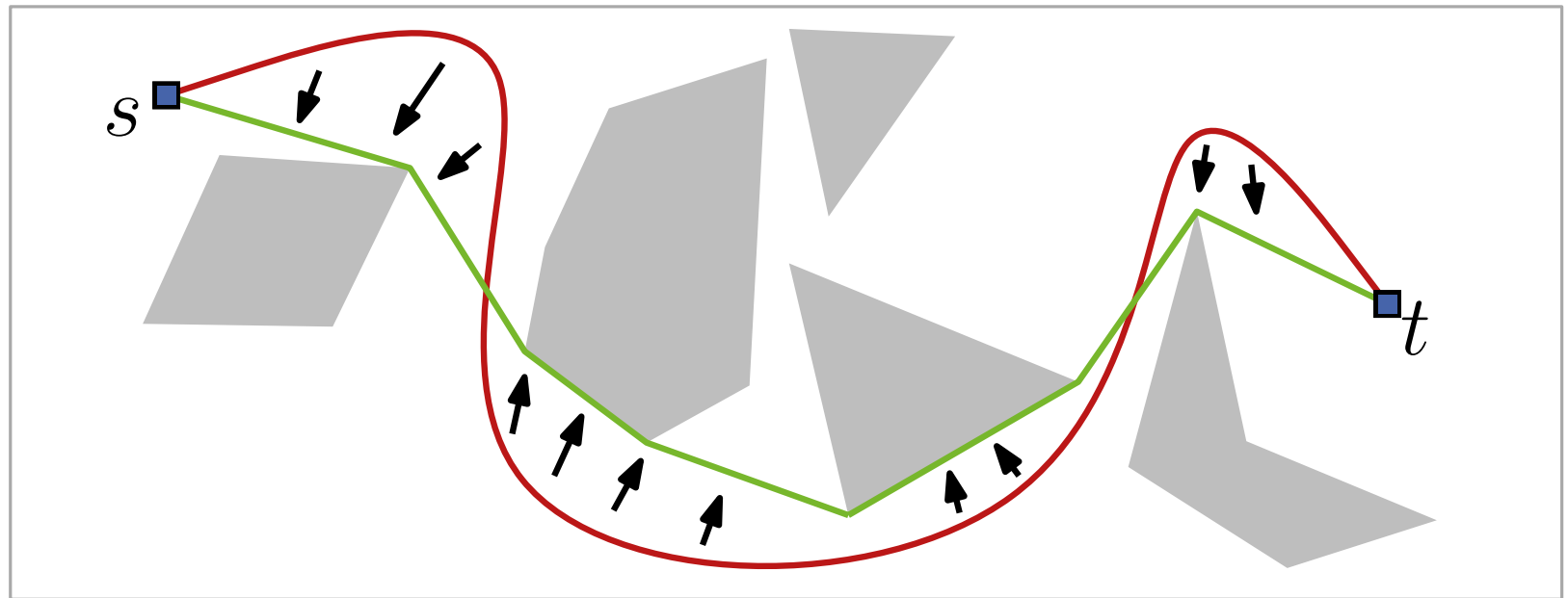
Kürzeste Wege in Polygonegebieten

Lemma 1: Für eine Menge S von disjunkten Polygonen in \mathbb{R}^2 und zwei Punkte s und t außerhalb S ist jeder kürzeste st -Weg in $\mathbb{R}^2 \setminus \bigcup S$ ein Polygonzug dessen innere Knoten Knoten von S sind.



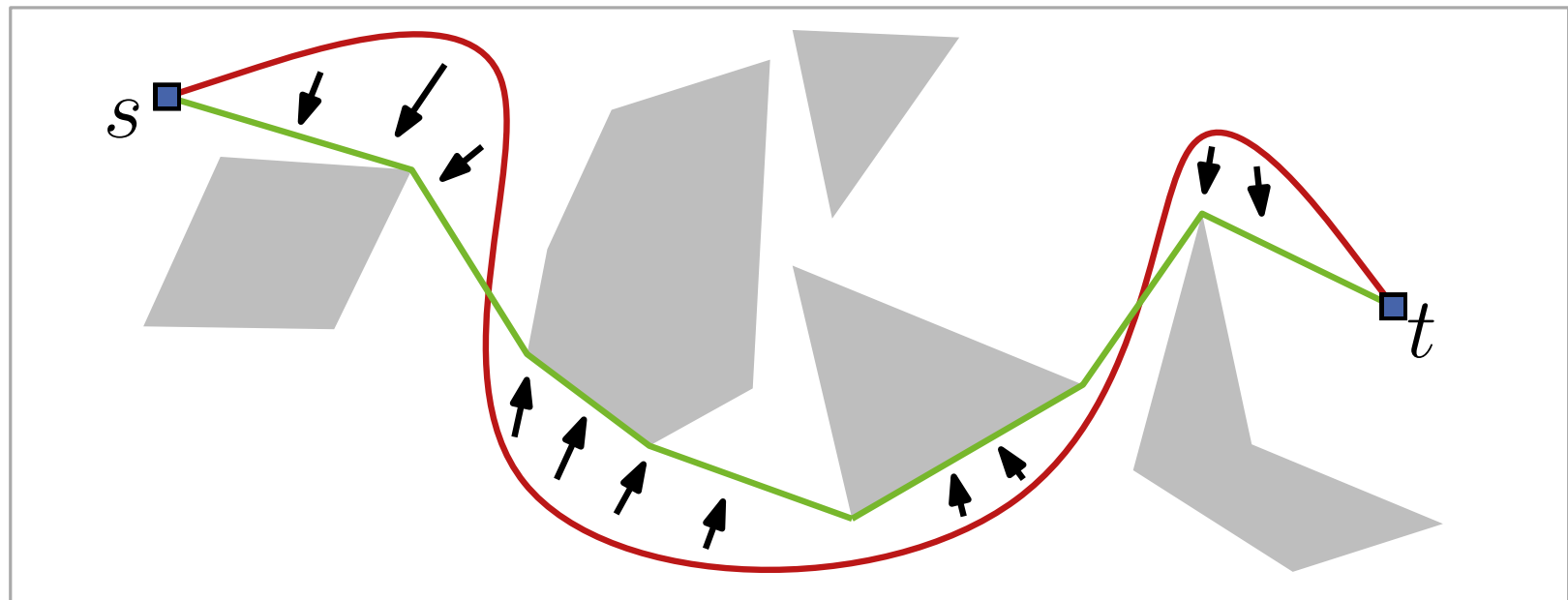
Kürzeste Wege in Polygonegebieten

Lemma 1: Für eine Menge S von disjunkten Polygonen in \mathbb{R}^2 und zwei Punkte s und t außerhalb S ist jeder kürzeste st -Weg in $\mathbb{R}^2 \setminus \bigcup S$ ein Polygonzug dessen innere Knoten Knoten von S sind.



Kürzeste Wege in Polygonegebieten

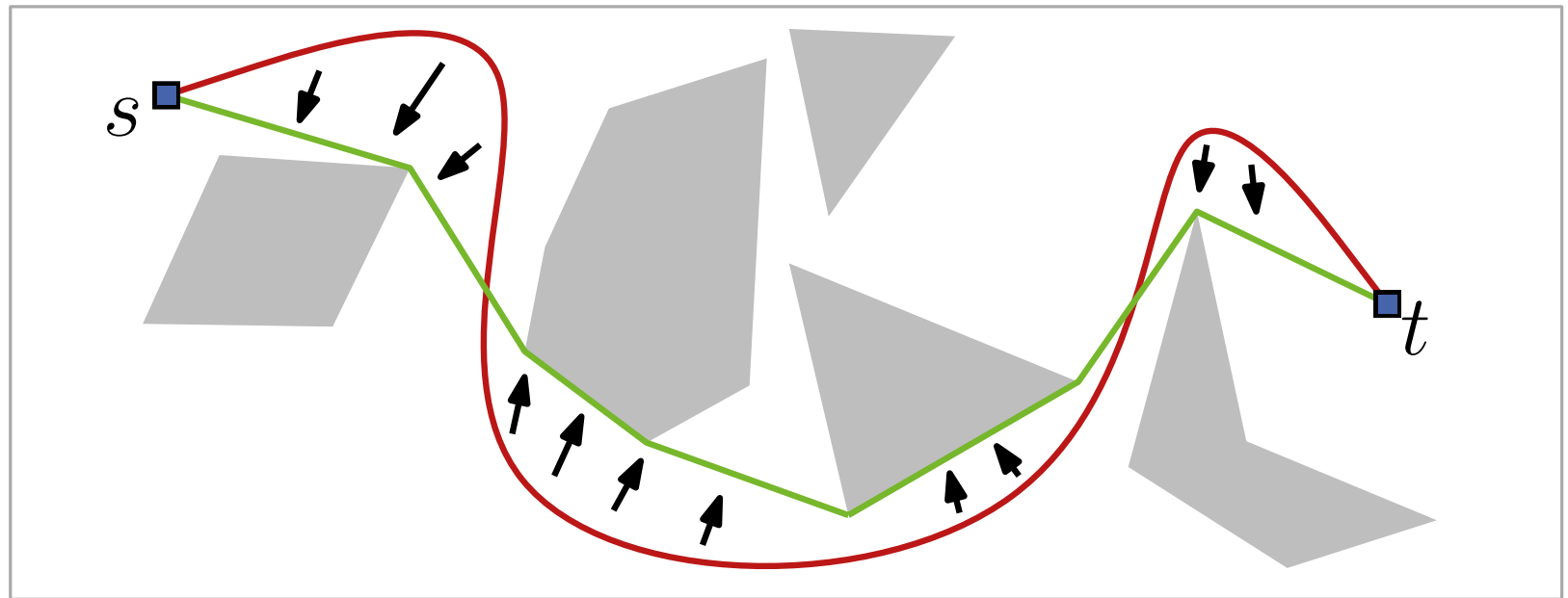
Lemma 1: Für eine Menge S von disjunkten Polygonen in \mathbb{R}^2 und zwei Punkte s und t außerhalb S ist jeder kürzeste st -Weg in $\mathbb{R}^2 \setminus \bigcup S$ ein Polygonzug dessen innere Knoten Knoten von S sind.



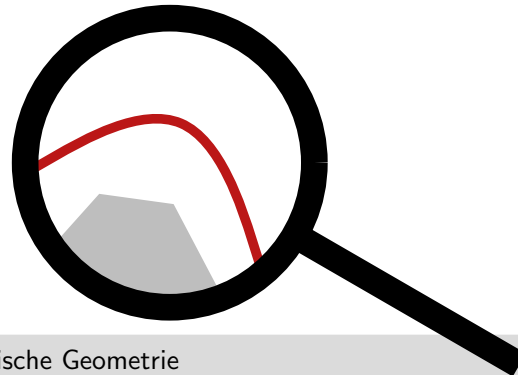
Beweisskizze:

Kürzeste Wege in Polygonegebieten

Lemma 1: Für eine Menge S von disjunkten Polygonen in \mathbb{R}^2 und zwei Punkte s und t außerhalb S ist jeder kürzeste st -Weg in $\mathbb{R}^2 \setminus \bigcup S$ ein Polygonzug dessen innere Knoten Knoten von S sind.

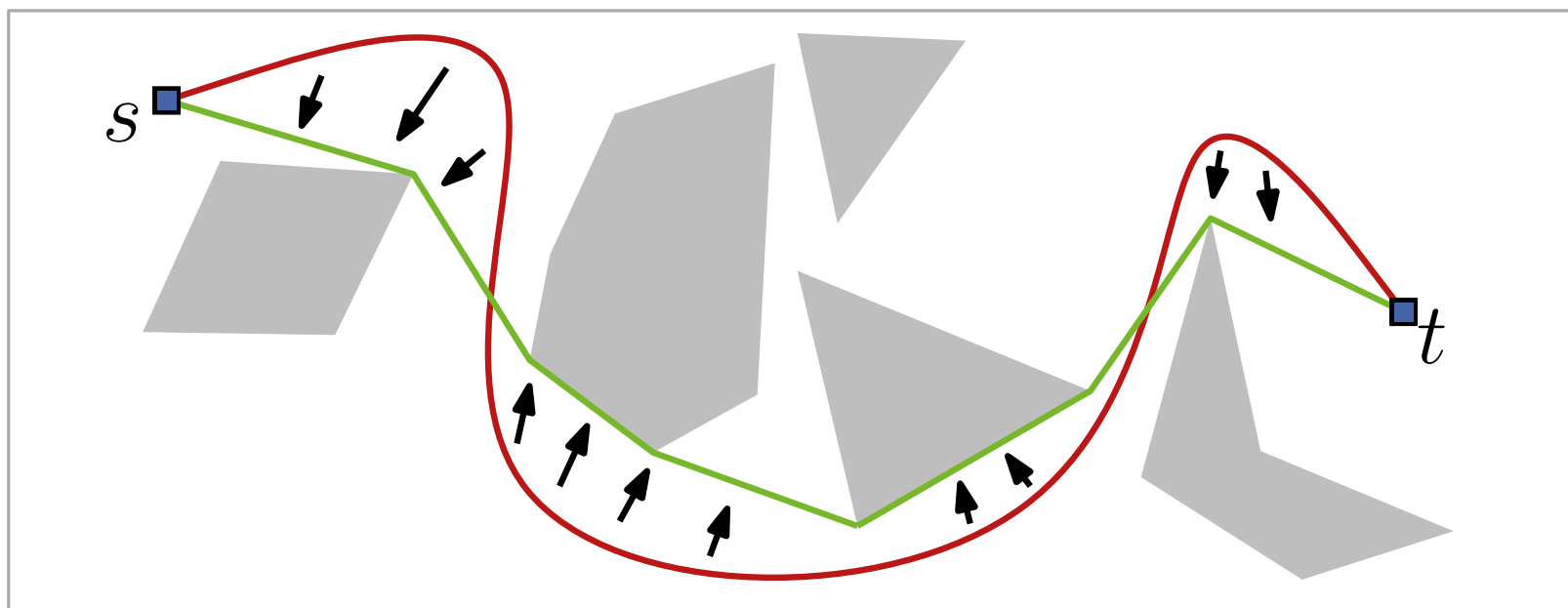


Beweisskizze:

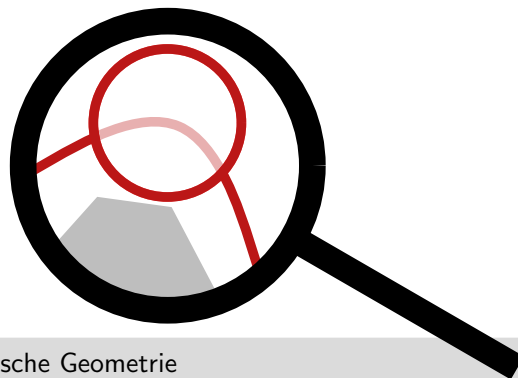


Kürzeste Wege in Polygonegebieten

Lemma 1: Für eine Menge S von disjunkten Polygonen in \mathbb{R}^2 und zwei Punkte s und t außerhalb S ist jeder kürzeste st -Weg in $\mathbb{R}^2 \setminus \bigcup S$ ein Polygonzug dessen innere Knoten Knoten von S sind.

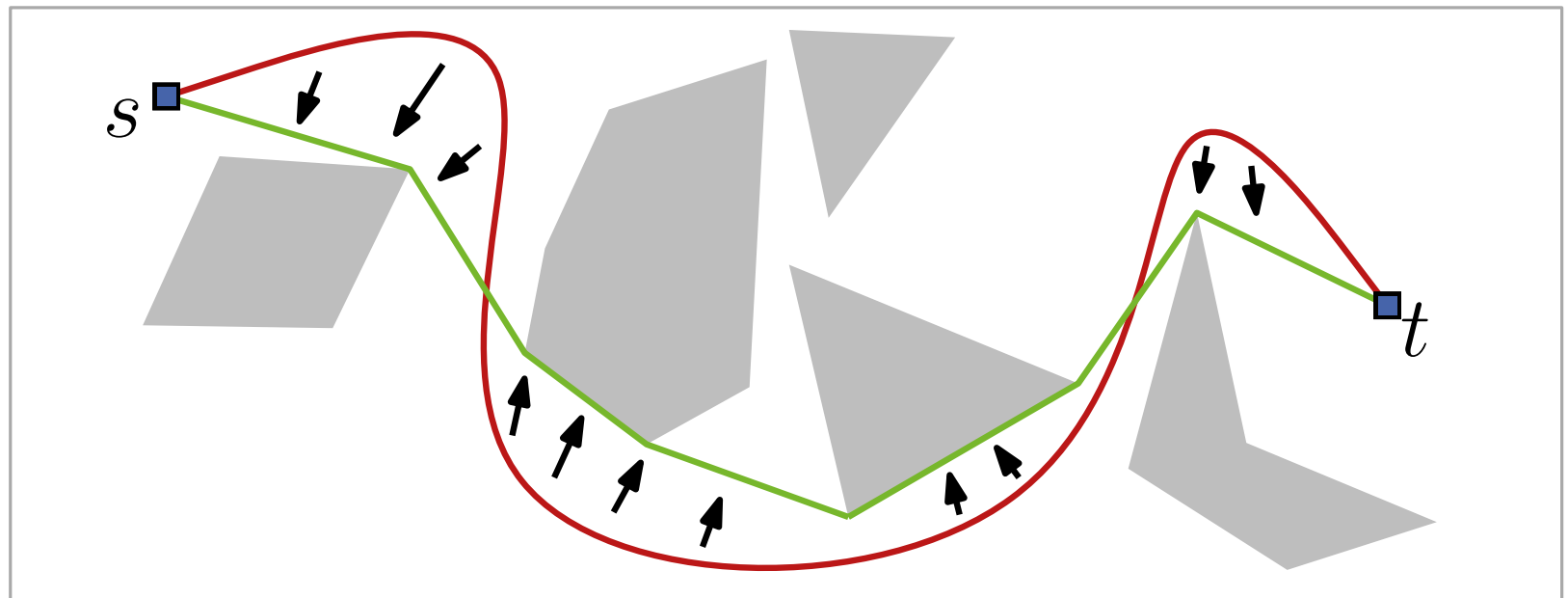


Beweisskizze:

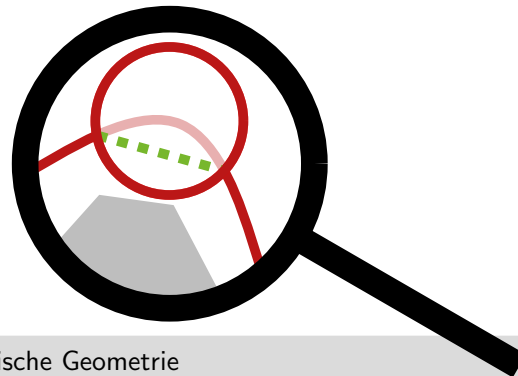


Kürzeste Wege in Polygonegebieten

Lemma 1: Für eine Menge S von disjunkten Polygonen in \mathbb{R}^2 und zwei Punkte s und t außerhalb S ist jeder kürzeste st -Weg in $\mathbb{R}^2 \setminus \bigcup S$ ein Polygonzug dessen innere Knoten Knoten von S sind.

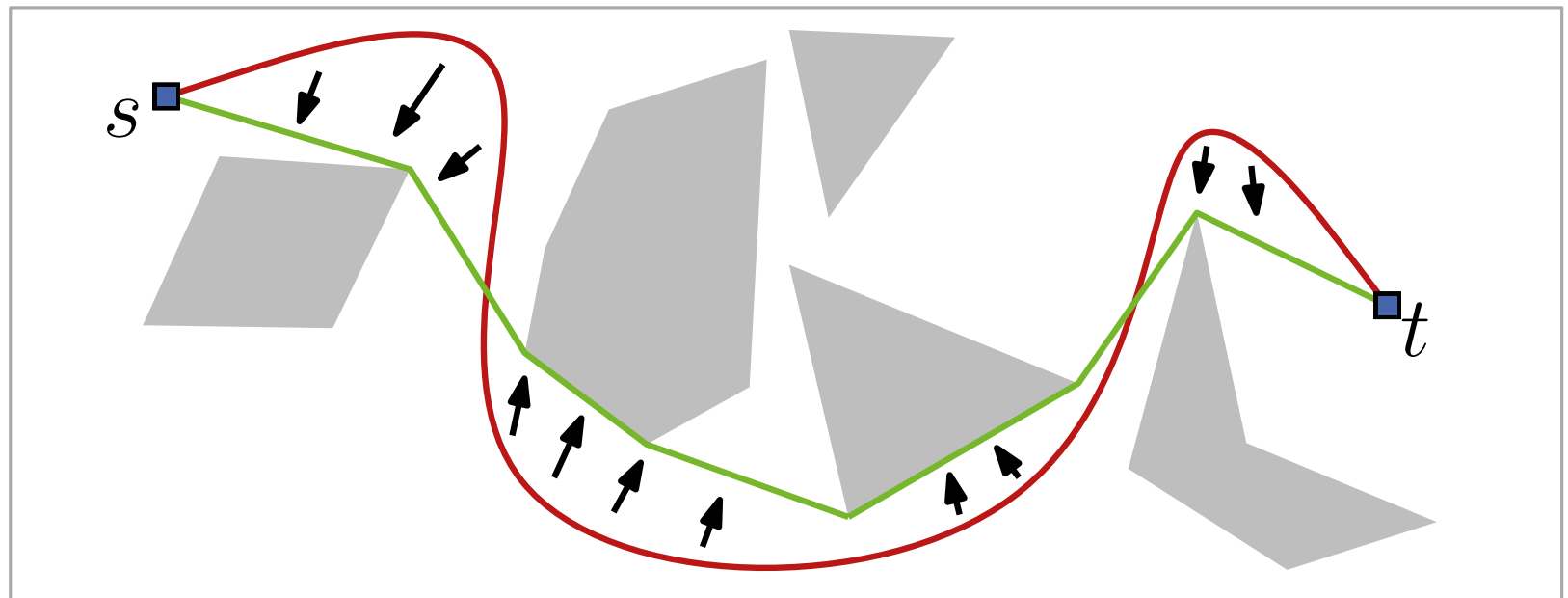


Beweisskizze:

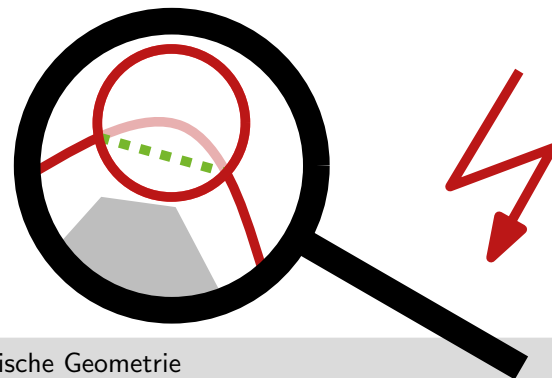


Kürzeste Wege in Polygonegebieten

Lemma 1: Für eine Menge S von disjunkten Polygonen in \mathbb{R}^2 und zwei Punkte s und t außerhalb S ist jeder kürzeste st -Weg in $\mathbb{R}^2 \setminus \bigcup S$ ein Polygonzug dessen innere Knoten Knoten von S sind.

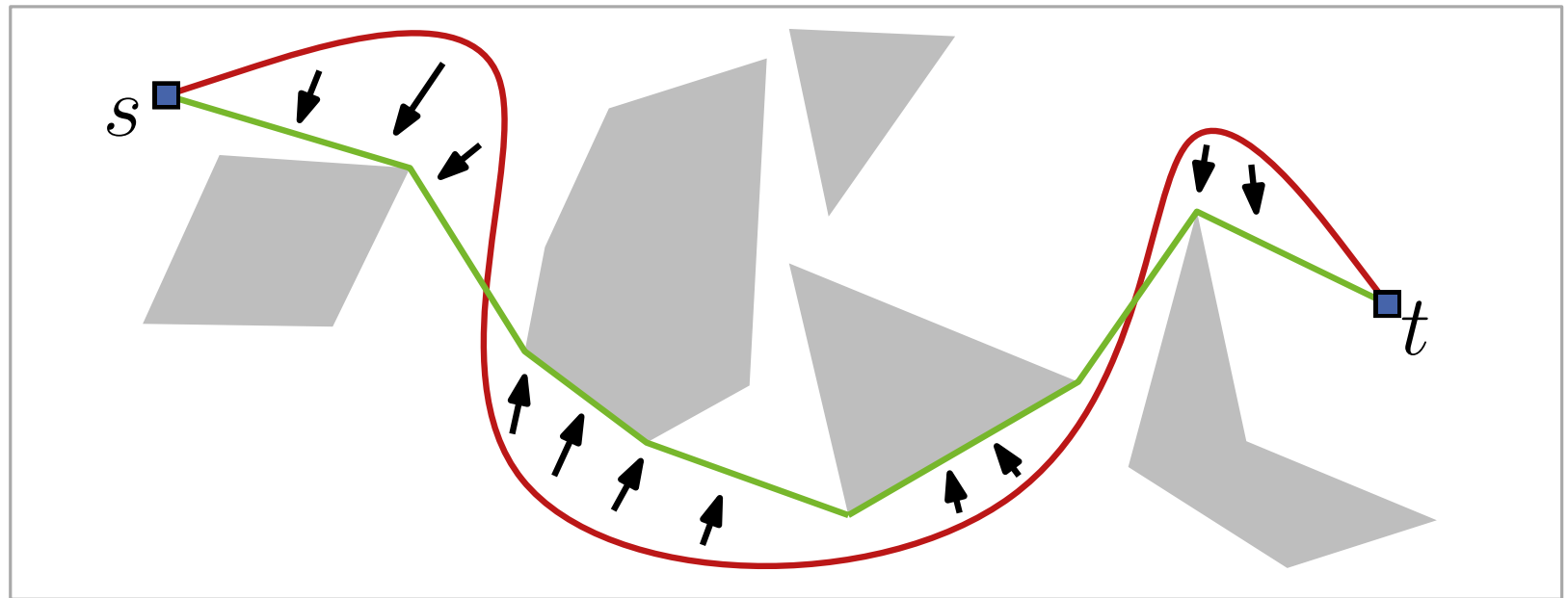


Beweisskizze:

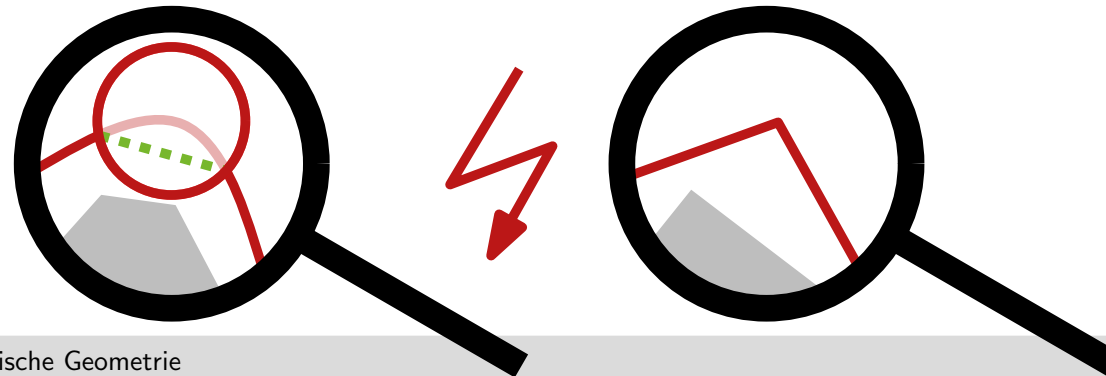


Kürzeste Wege in Polygonegebieten

Lemma 1: Für eine Menge S von disjunkten Polygonen in \mathbb{R}^2 und zwei Punkte s und t außerhalb S ist jeder kürzeste st -Weg in $\mathbb{R}^2 \setminus \bigcup S$ ein Polygonzug dessen innere Knoten Knoten von S sind.

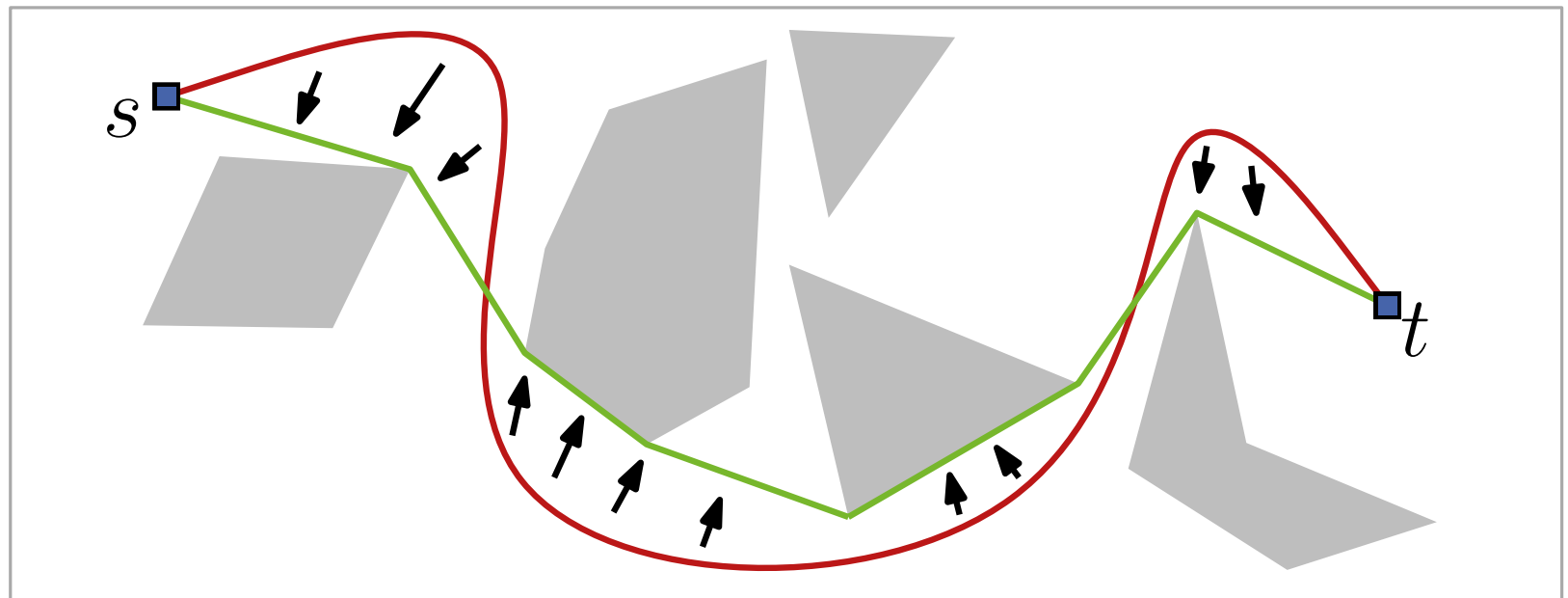


Beweisskizze:

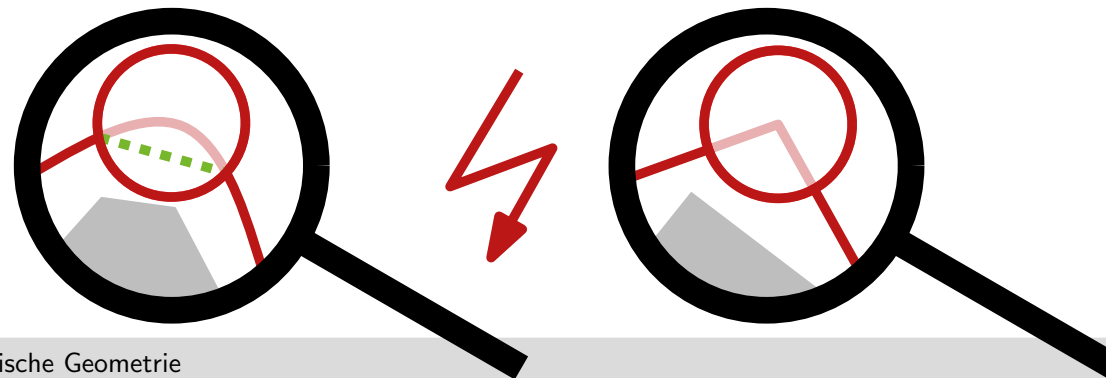


Kürzeste Wege in Polygonegebieten

Lemma 1: Für eine Menge S von disjunkten Polygonen in \mathbb{R}^2 und zwei Punkte s und t außerhalb S ist jeder kürzeste st -Weg in $\mathbb{R}^2 \setminus \bigcup S$ ein Polygonzug dessen innere Knoten Knoten von S sind.

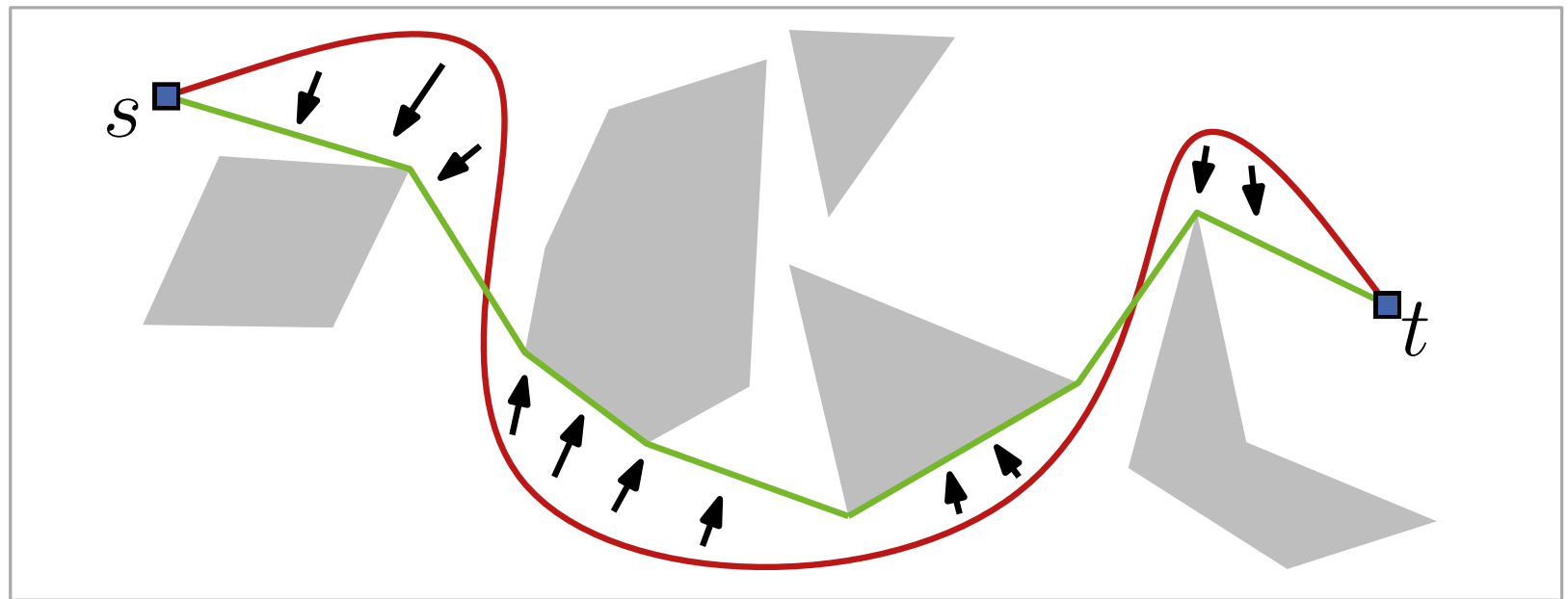


Beweisskizze:

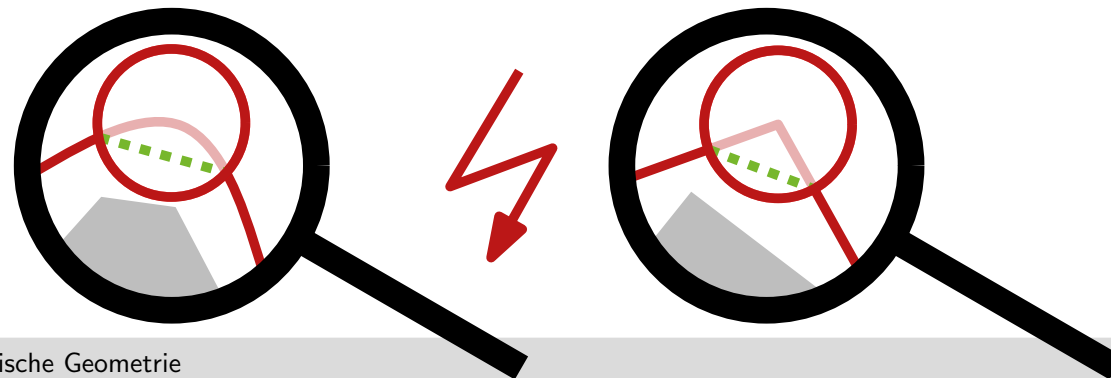


Kürzeste Wege in Polygonegebieten

Lemma 1: Für eine Menge S von disjunkten Polygonen in \mathbb{R}^2 und zwei Punkte s und t außerhalb S ist jeder kürzeste st -Weg in $\mathbb{R}^2 \setminus \bigcup S$ ein Polygonzug dessen innere Knoten Knoten von S sind.

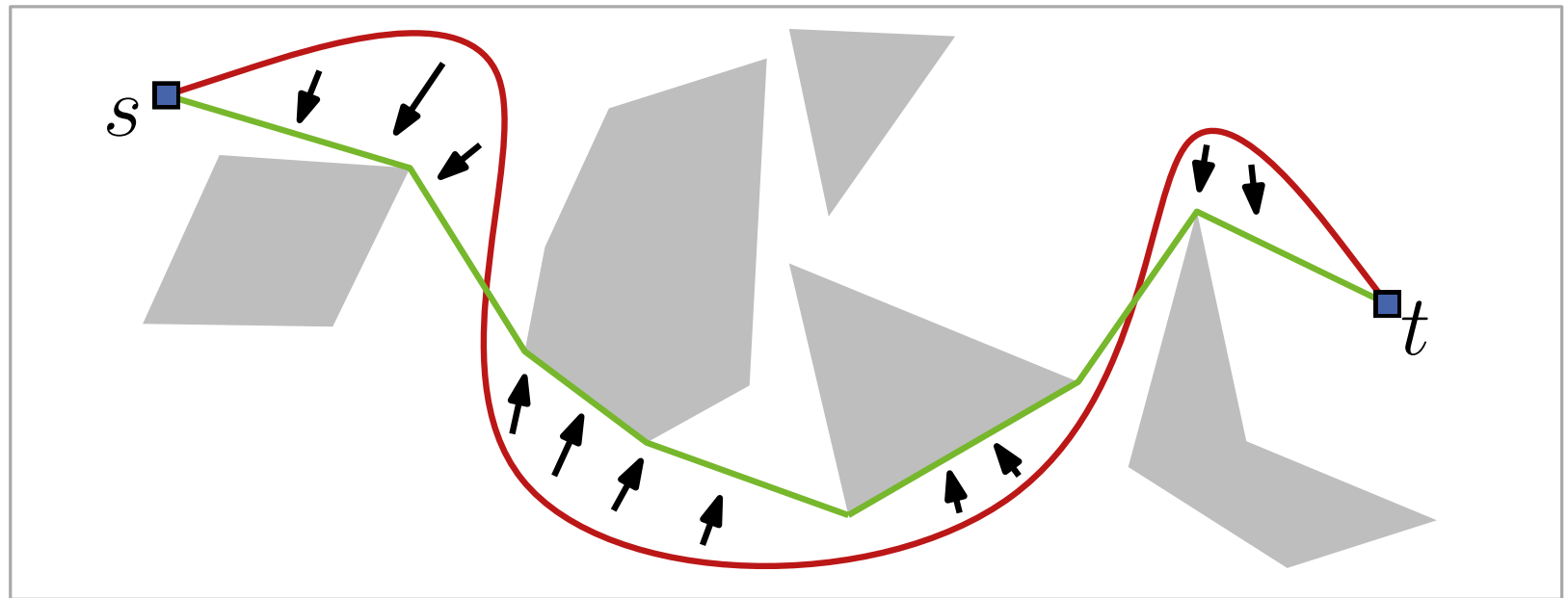


Beweisskizze:

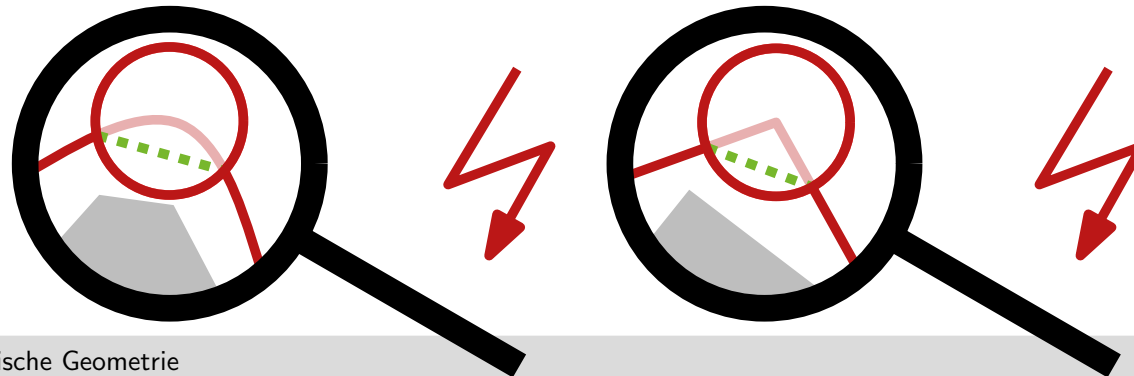


Kürzeste Wege in Polygonegebieten

Lemma 1: Für eine Menge S von disjunkten Polygonen in \mathbb{R}^2 und zwei Punkte s und t außerhalb S ist jeder kürzeste st -Weg in $\mathbb{R}^2 \setminus \bigcup S$ ein Polygonzug dessen innere Knoten Knoten von S sind.



Beweisskizze:



Sichtbarkeitsgraph

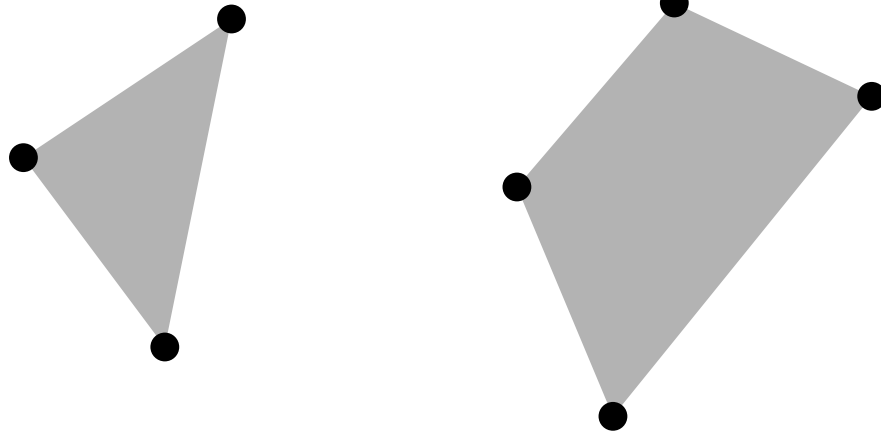
Gegeben sei eine Menge S disjunkter offener Polygone...



Sichtbarkeitsgraph

Gegeben sei eine Menge S disjunkter offener Polygone...

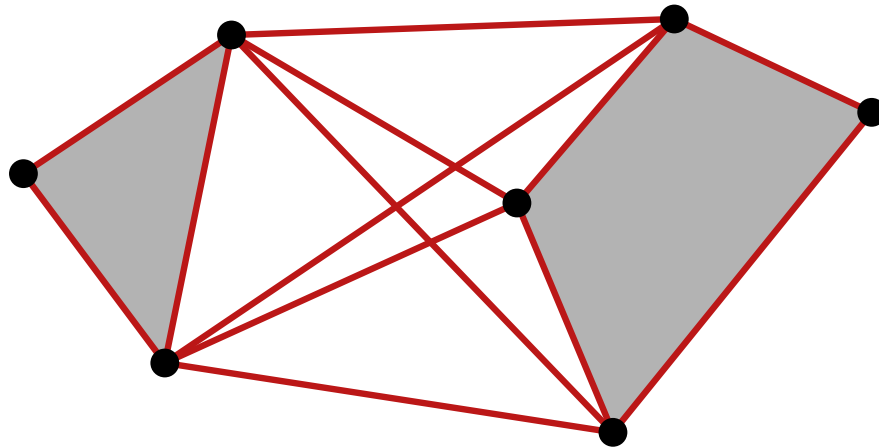
...mit Knotenmenge $V(S)$.



Sichtbarkeitsgraph

Gegeben sei eine Menge S disjunkter offener Polygone...

...mit Knotenmenge $V(S)$.

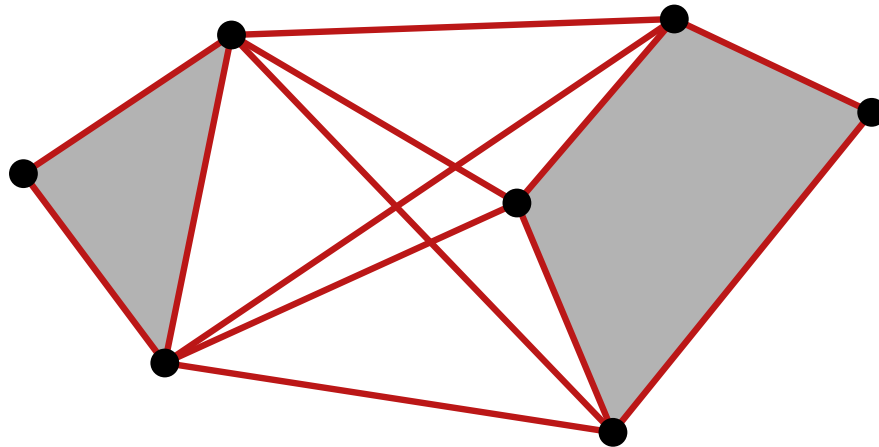


Def.: Dann ist $G_{\text{vis}}(S) = (V(S), E_{\text{vis}}(S))$ der **Sichtbarkeitsgraph** von S mit $E_{\text{vis}}(S) = \{uv \mid u, v \in V(S) \text{ und } u \text{ sieht } v\}$ und $w(uv) = |uv|$.

Sichtbarkeitsgraph

Gegeben sei eine Menge S disjunkter offener Polygone...

...mit Knotenmenge $V(S)$.

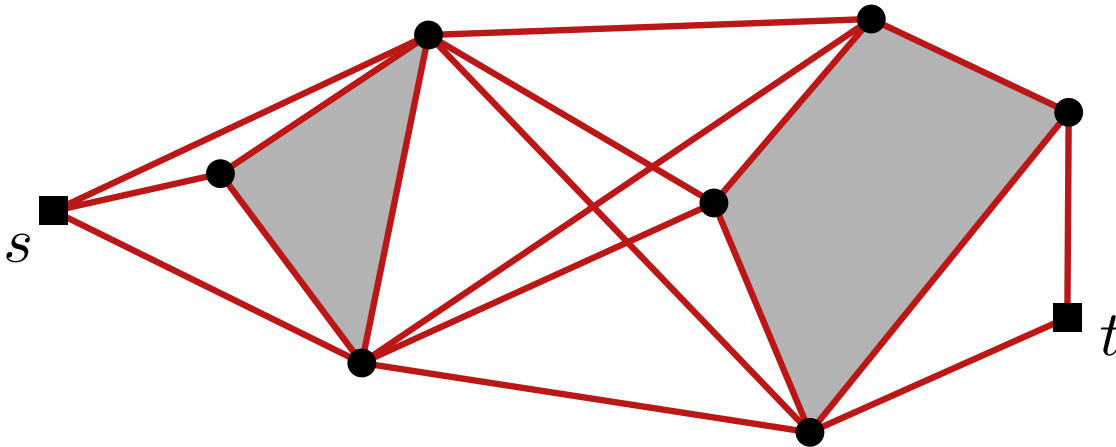


Def.: Dann ist $G_{\text{vis}}(S) = (V(S), E_{\text{vis}}(S))$ der **Sichtbarkeitsgraph** von S mit $E_{\text{vis}}(S) = \{uv \mid u, v \in V(S) \text{ und } u \text{ sieht } v\}$ und $w(uv) = |uv|$. Dabei gilt u **sieht** $v \Leftrightarrow \overline{uv} \subset \mathcal{C}_{\text{free}} = \mathbb{R}^2 \setminus \bigcup S$

Sichtbarkeitsgraph

Gegeben sei eine Menge S disjunkter offener Polygone...

...mit Knotenmenge $V(S)$.



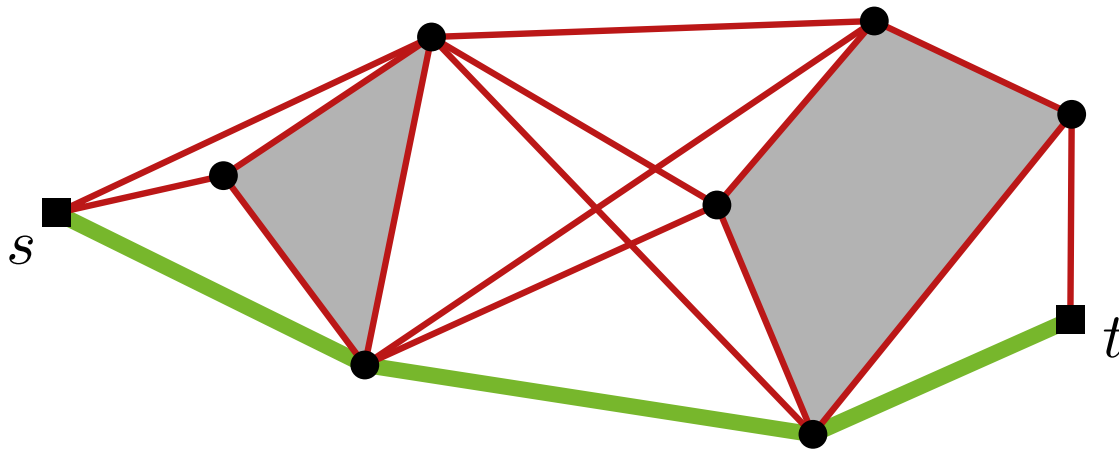
Def.: Dann ist $G_{\text{vis}}(S) = (V(S), E_{\text{vis}}(S))$ der **Sichtbarkeitsgraph** von S mit $E_{\text{vis}}(S) = \{uv \mid u, v \in V(S) \text{ und } u \text{ sieht } v\}$ und $w(uv) = |uv|$.
Dabei gilt u **sieht** $v : \Leftrightarrow \overline{uv} \subset \mathcal{C}_{\text{free}} = \mathbb{R}^2 \setminus \bigcup S$

Definiere $S^* = S \cup \{s, t\}$ und $G_{\text{vis}}(S^*)$ analog.

Sichtbarkeitsgraph

Gegeben sei eine Menge S disjunkter offener Polygone...

...mit Knotenmenge $V(S)$.



Def.: Dann ist $G_{\text{vis}}(S) = (V(S), E_{\text{vis}}(S))$ der **Sichtbarkeitsgraph** von S mit $E_{\text{vis}}(S) = \{uv \mid u, v \in V(S) \text{ und } u \text{ sieht } v\}$ und $w(uv) = |uv|$.
Dabei gilt u **sieht** $v : \Leftrightarrow \overline{uv} \subset \mathcal{C}_{\text{free}} = \mathbb{R}^2 \setminus \bigcup S$

Definiere $S^* = S \cup \{s, t\}$ und $G_{\text{vis}}(S^*)$ analog.

Lemma 1

\Rightarrow

Der kürzeste st -Weg, der die Hindernisse in S vermeidet, entspricht einem kürzesten Weg in $G_{\text{vis}}(S^*)$.

SHORTESTPATH(S, s, t)

Input: Hindernismenge S , Punkte $s, t \in \mathbb{R}^2 \setminus \bigcup S$

Output: kürzester kollisionsfreier st -Weg in S

- 1 $G_{\text{vis}} \leftarrow \text{VISIBILITYGRAPH}(S \cup \{s, t\})$
- 2 **foreach** $uv \in E_{\text{vis}}(S)$ **do** $w(uv) \leftarrow |uv|$
- 3 **return** $\text{DIJKSTRA}(G_{\text{vis}}, w, s, t)$

Algorithmus

SHORTESTPATH(S, s, t)

$$n = |V(S)|, m = |E_{\text{vis}}(S)|$$

Input: Hindernismenge S , Punkte $s, t \in \mathbb{R}^2 \setminus \bigcup S$

Output: kürzester kollisionsfreier st -Weg in S

- 1 $G_{\text{vis}} \leftarrow \text{VISIBILITYGRAPH}(S \cup \{s, t\})$?
- 2 **foreach** $uv \in E_{\text{vis}}(S)$ **do** $w(uv) \leftarrow |uv|$ $O(m)$
- 3 **return** $\text{DIJKSTRA}(G_{\text{vis}}, w, s, t)$ $O(n \log n + m)$

SHORTESTPATH(S, s, t)

$$n = |V(S)|, m = |E_{\text{vis}}(S)|$$

Input: Hindernismenge S , Punkte $s, t \in \mathbb{R}^2 \setminus \bigcup S$

Output: kürzester kollisionsfreier st -Weg in S

- 1 $G_{\text{vis}} \leftarrow \text{VISIBILITYGRAPH}(S \cup \{s, t\})$ $O(n^2 \log n)$
 - 2 **foreach** $uv \in E_{\text{vis}}(S)$ **do** $w(uv) \leftarrow |uv|$ $O(m)$
 - 3 **return** $\text{DIJKSTRA}(G_{\text{vis}}, w, s, t)$ $O(n \log n + m)$
-
- $O(n^2 \log n)$

Satz 1: Ein kürzester st -Weg in einem Gebiet mit Polygon-Hindernissen mit n Kanten kann in $O(n^2 \log n)$ Zeit berechnet werden.

Sichtbarkeitsgraph berechnen

VISIBILITYGRAPH(S)

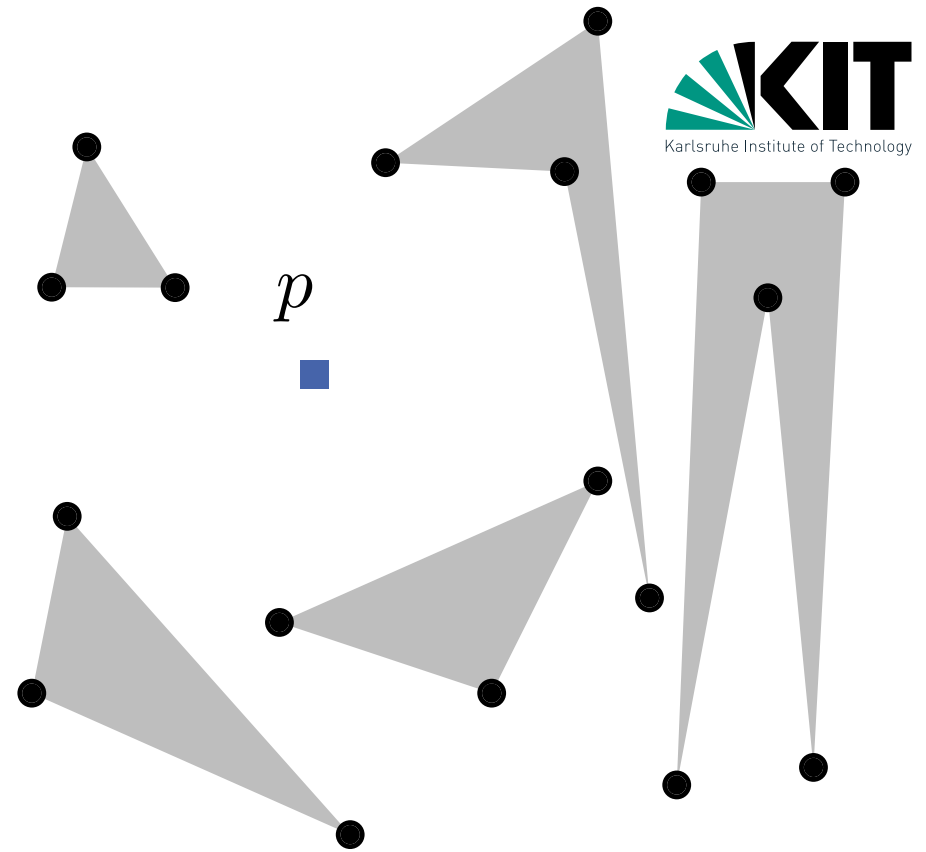
Input: Menge disjunkter Polygone S

Output: Sichtbarkeitsgraph $G_{\text{vis}}(S)$

```
1  $E \leftarrow \emptyset$ 
2 foreach  $v \in V(S)$  do
3    $W \leftarrow \text{VISIBLEVERTICES}(v, S)$ 
4    $E \leftarrow E \cup \{vw \mid w \in W\}$ 
5 return  $E$ 
```

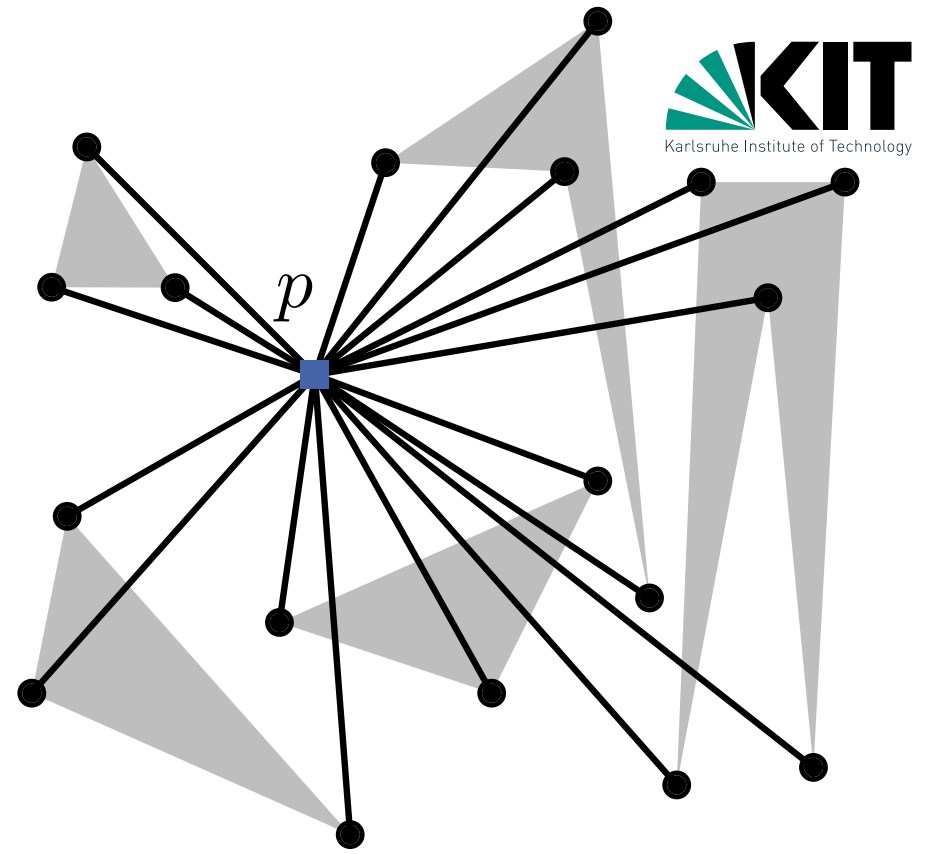
Sichtbare Knoten berechnen

$\text{VISIBLEVERTICES}(p, S)$



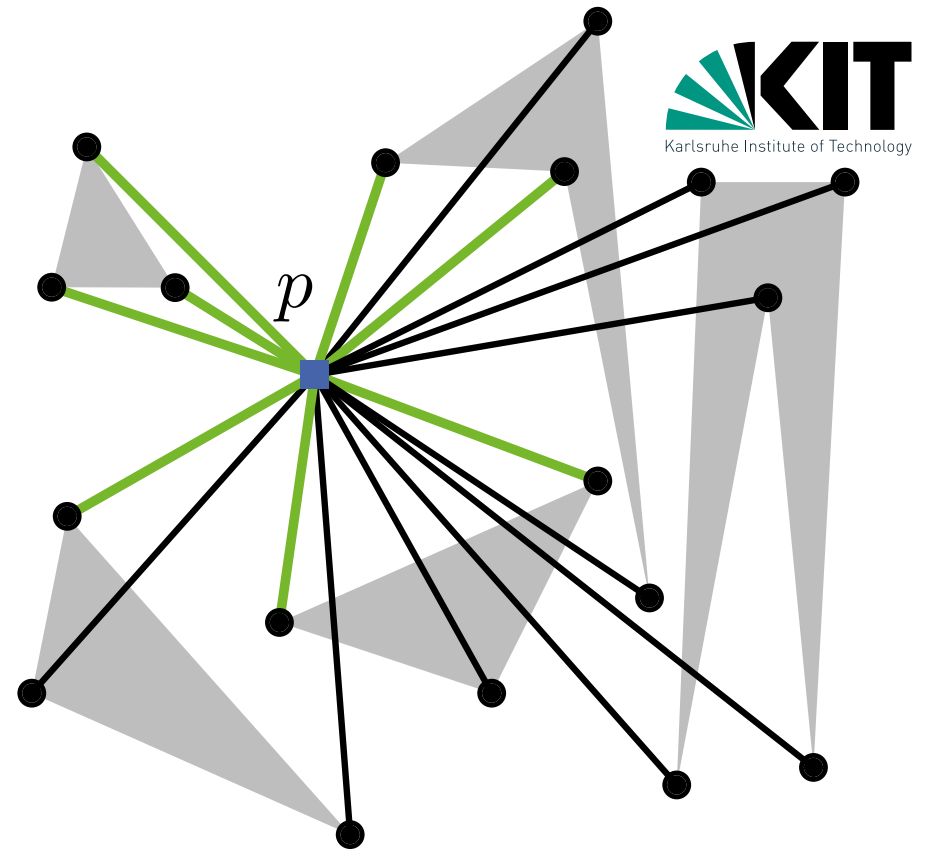
Sichtbare Knoten berechnen

$\text{VISIBLEVERTICES}(p, S)$



Sichtbare Knoten berechnen

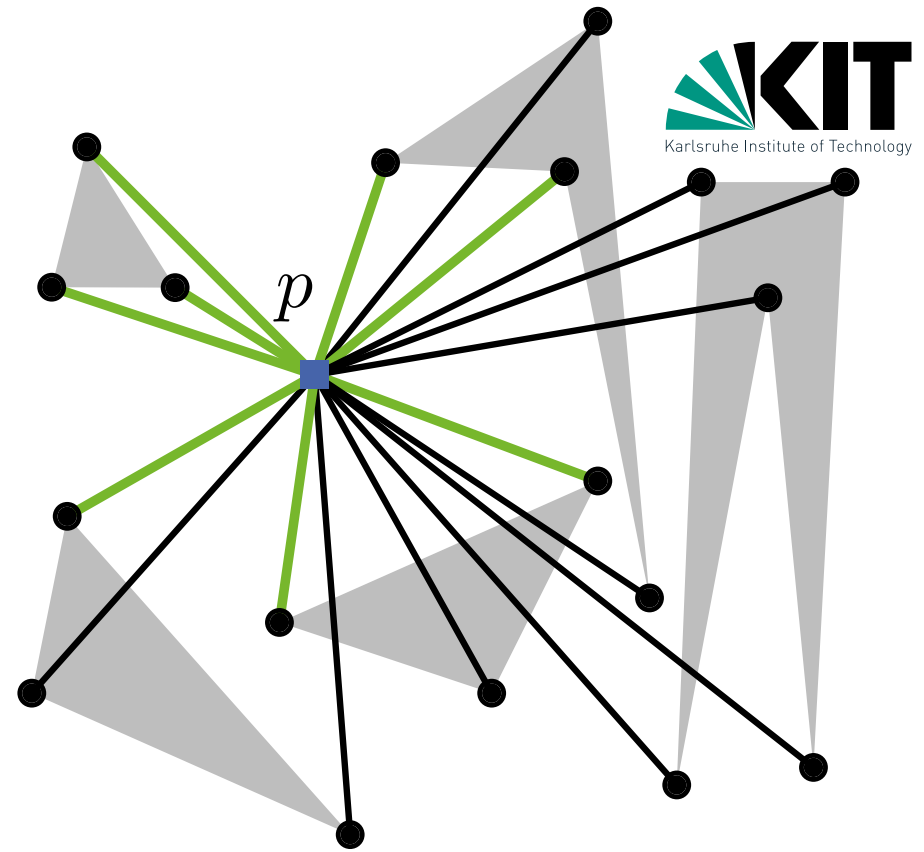
$\text{VISIBLEVERTICES}(p, S)$



Sichtbare Knoten berechnen

$VISIBLEVERTICES(p, S)$

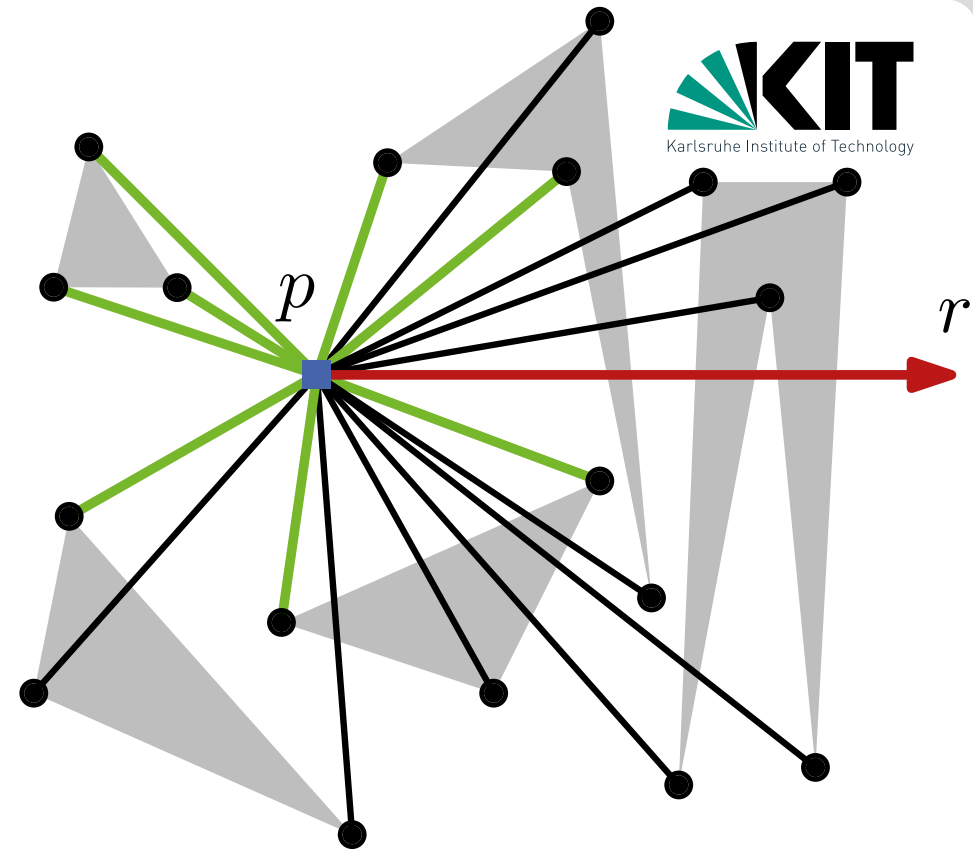
Aufgabe: Gegeben p und S
finde in $O(n \log n)$ Zeit alle
von p aus sichtbaren Knoten
in $V(S)$!



Sichtbare Knoten berechnen

$\text{VISIBLEVERTICES}(p, S)$

$$r \leftarrow \{p + k \begin{pmatrix} 1 \\ 0 \end{pmatrix} \mid k \in \mathbb{R}_0^+\}$$

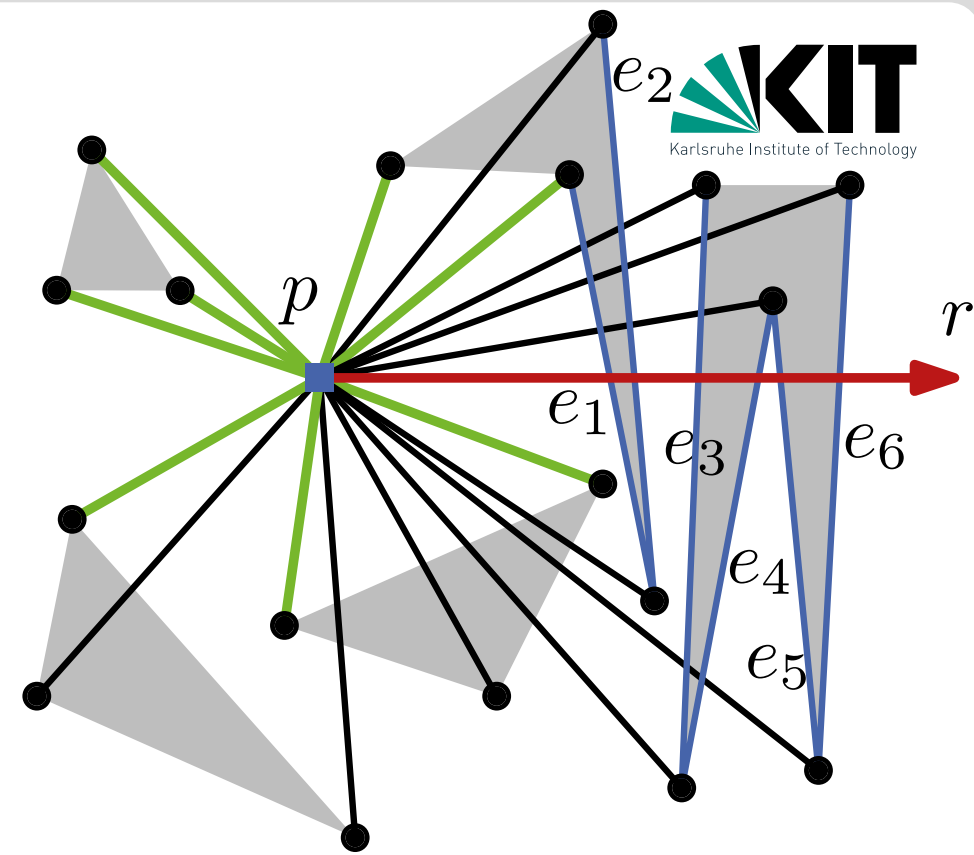


Sichtbare Knoten berechnen

$\text{VISIBLEVERTICES}(p, S)$

$$r \leftarrow \{p + k \begin{pmatrix} 1 \\ 0 \end{pmatrix} \mid k \in \mathbb{R}_0^+\}$$

$$I \leftarrow \{e \in E(S) \mid e \cap r \neq \emptyset\}$$



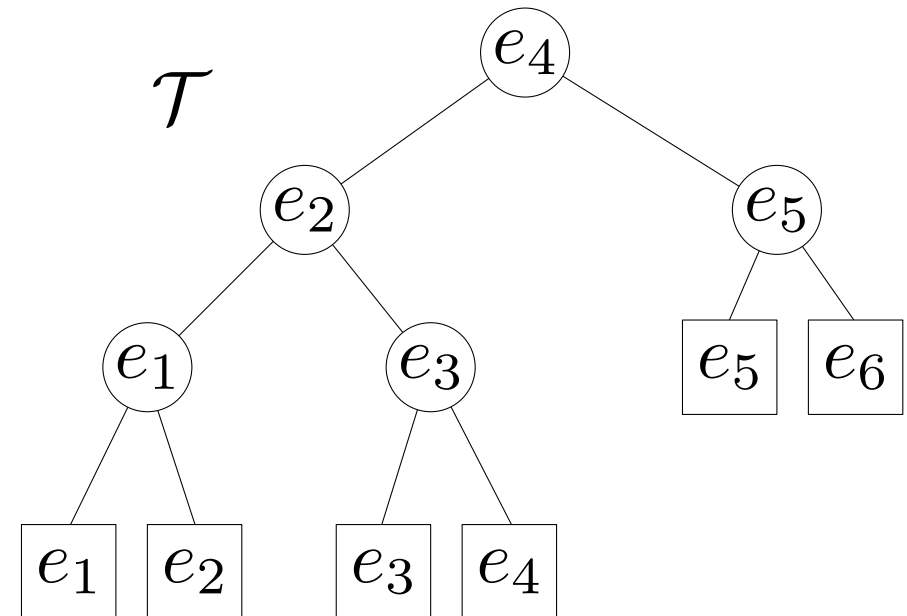
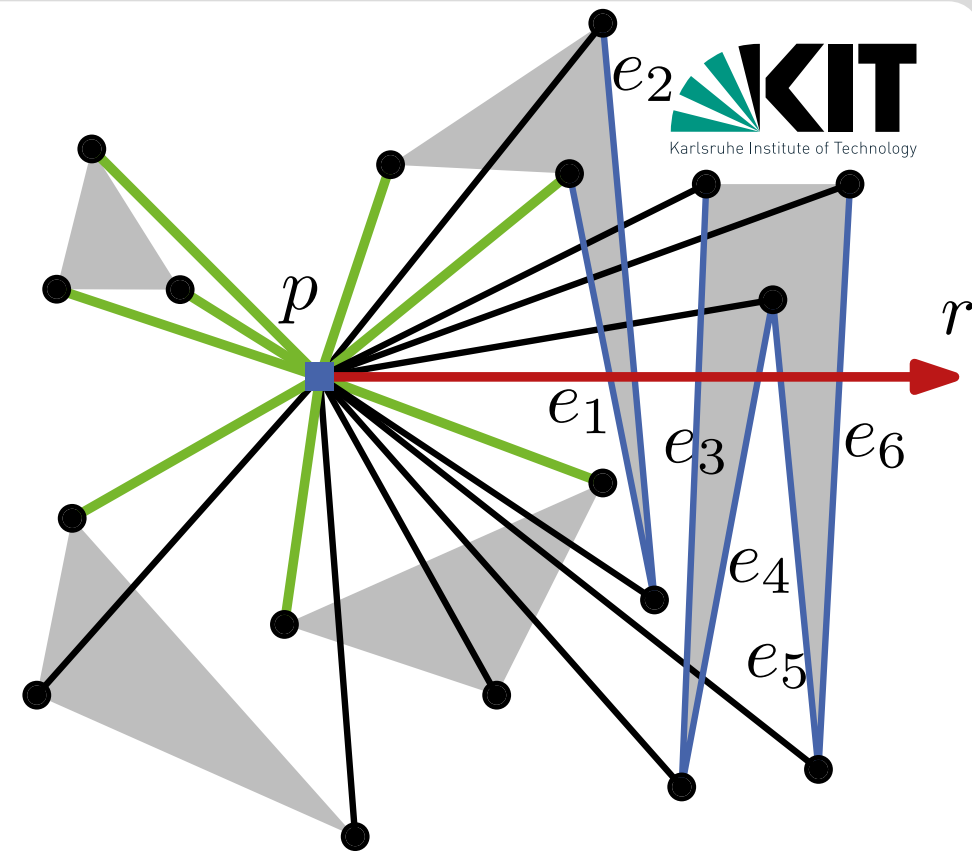
Sichtbare Knoten berechnen

$\text{VISIBLEVERTICES}(p, S)$

$$r \leftarrow \{p + k \begin{pmatrix} 1 \\ 0 \end{pmatrix} \mid k \in \mathbb{R}_0^+\}$$

$$I \leftarrow \{e \in E(S) \mid e \cap r \neq \emptyset\}$$

$$\mathcal{T} \leftarrow \text{balancedBinaryTree}(I)$$



Sichtbare Knoten berechnen

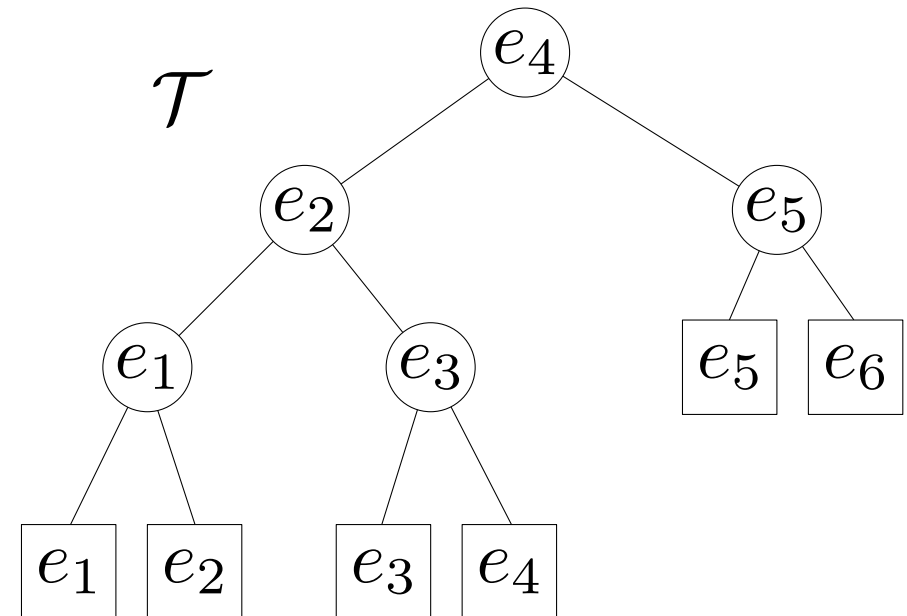
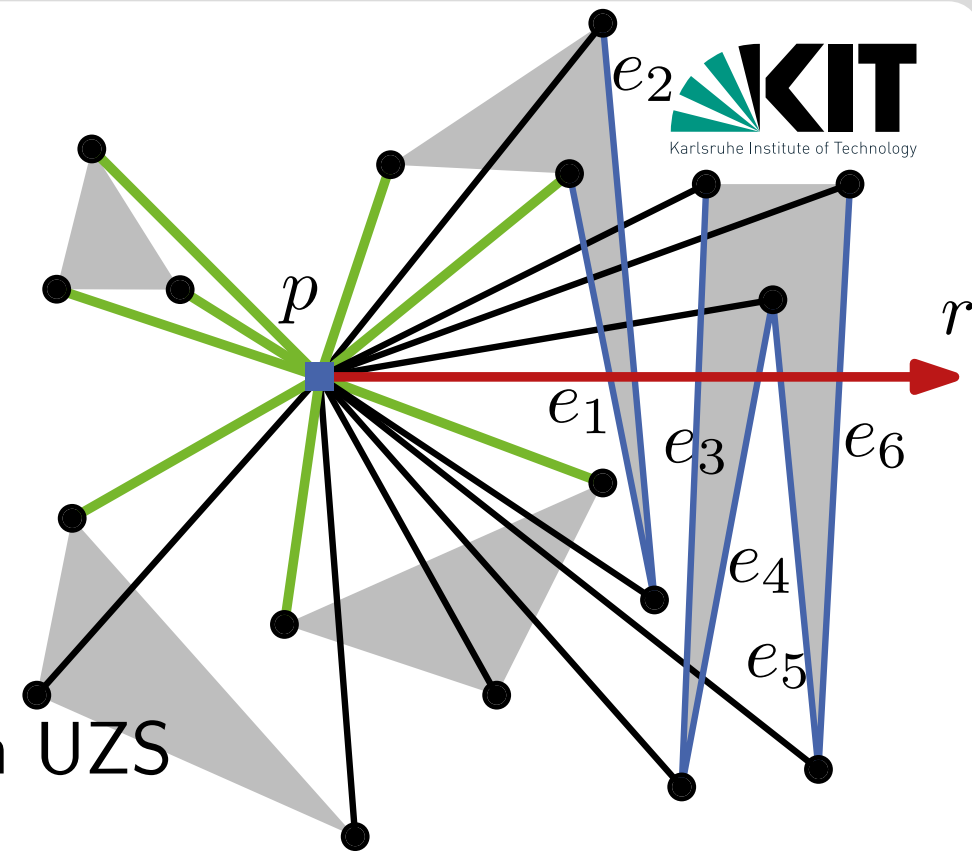
$\text{VISIBLEVERTICES}(p, S)$

$$r \leftarrow \{p + k \begin{pmatrix} 1 \\ 0 \end{pmatrix} \mid k \in \mathbb{R}_0^+\}$$

$$I \leftarrow \{e \in E(S) \mid e \cap r \neq \emptyset\}$$

$$\mathcal{T} \leftarrow \text{balancedBinaryTree}(I)$$

$$w_1, \dots, w_n \leftarrow \text{sortiere } V(S) \text{ im UZS}$$



Sichtbare Knoten berechnen

$\text{VISIBLEVERTICES}(p, S)$

$$r \leftarrow \{p + k \begin{pmatrix} 1 \\ 0 \end{pmatrix} \mid k \in \mathbb{R}_0^+\}$$

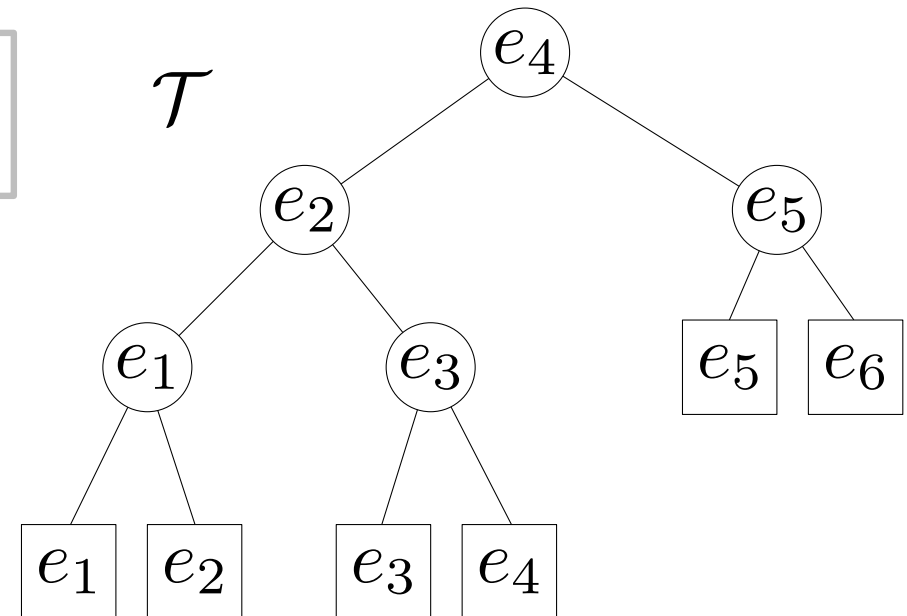
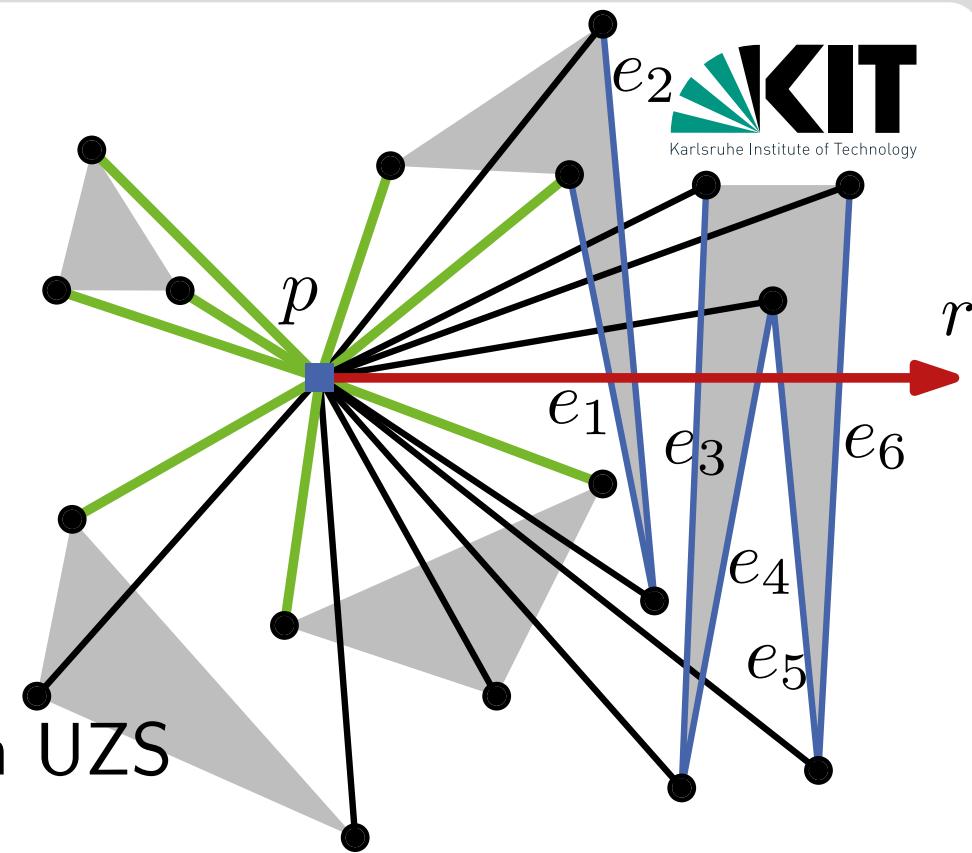
$$I \leftarrow \{e \in E(S) \mid e \cap r \neq \emptyset\}$$

$$\mathcal{T} \leftarrow \text{balancedBinaryTree}(I)$$

$$w_1, \dots, w_n \leftarrow \text{sortiere } V(S) \text{ im UZS}$$

$$v \prec v' :\Leftrightarrow$$

$$\angle v < \angle v' \text{ or}$$
$$(\angle v = \angle v' \text{ and } |pv| < |pv'|)$$



Sichtbare Knoten berechnen

$\text{VISIBLEVERTICES}(p, S)$

$$r \leftarrow \{p + k \begin{pmatrix} 1 \\ 0 \end{pmatrix} \mid k \in \mathbb{R}_0^+\}$$

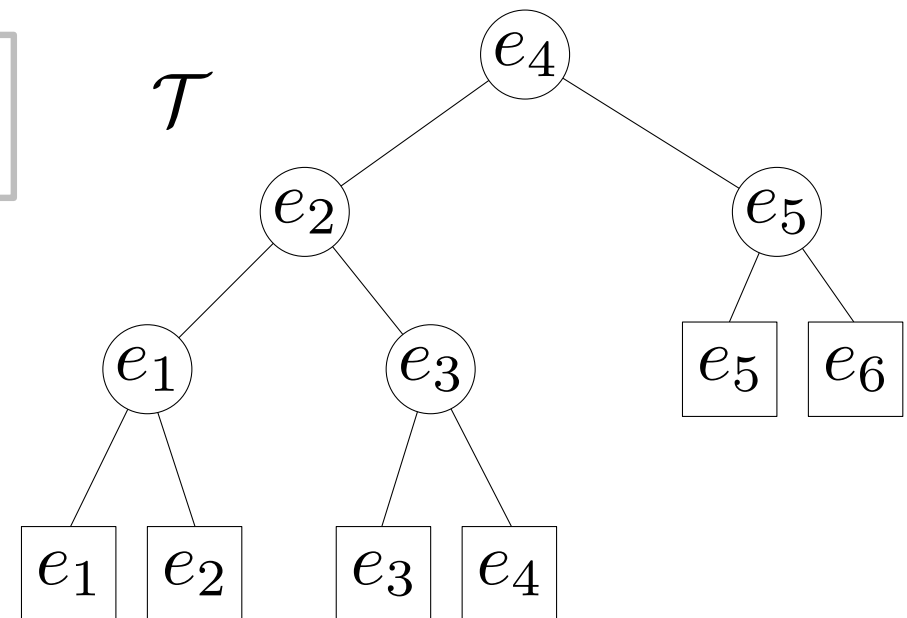
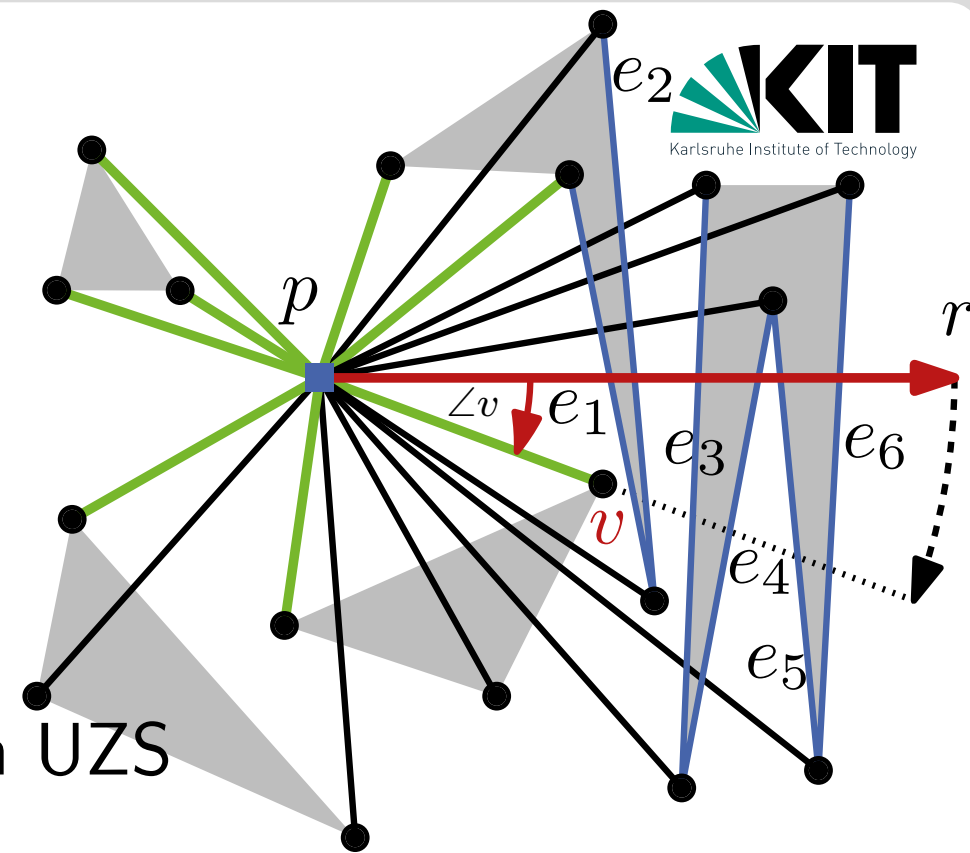
$$I \leftarrow \{e \in E(S) \mid e \cap r \neq \emptyset\}$$

$$\mathcal{T} \leftarrow \text{balancedBinaryTree}(I)$$

$$w_1, \dots, w_n \leftarrow \text{sortiere } V(S) \text{ im UZS}$$

$$v \prec v' :\Leftrightarrow$$

$$\angle v < \angle v' \text{ or } (\angle v = \angle v' \text{ and } |pv| < |pv'|)$$



Sichtbare Knoten berechnen

$\text{VISIBLEVERTICES}(p, S)$

$$r \leftarrow \{p + k \begin{pmatrix} 1 \\ 0 \end{pmatrix} \mid k \in \mathbb{R}_0^+\}$$

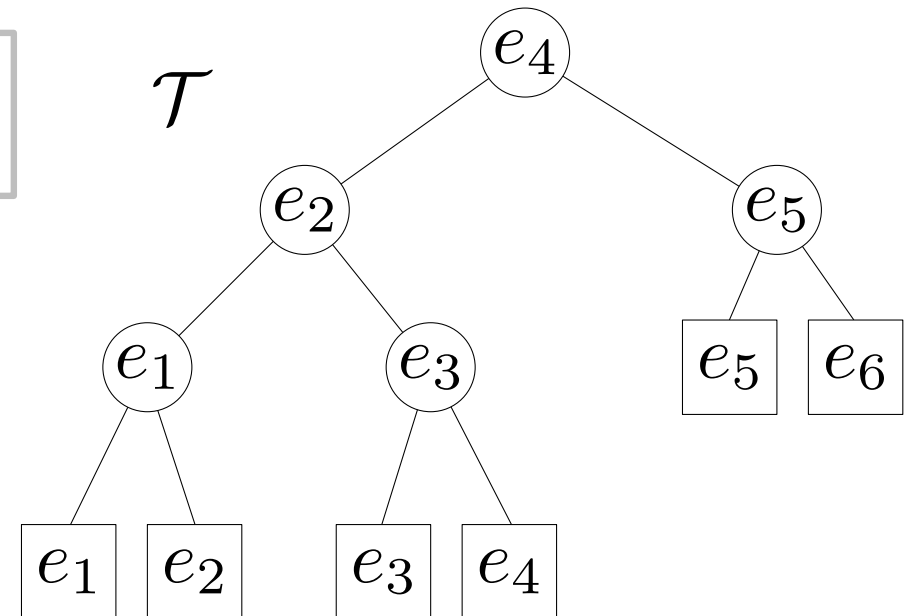
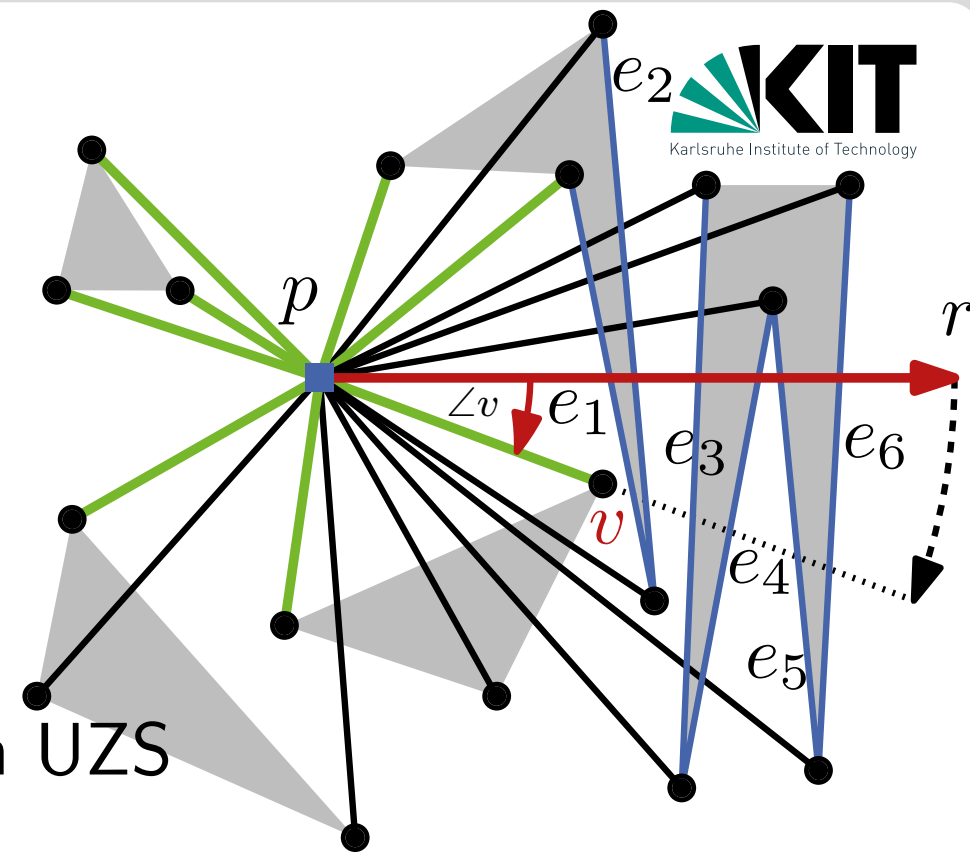
$$I \leftarrow \{e \in E(S) \mid e \cap r \neq \emptyset\}$$

$$\mathcal{T} \leftarrow \text{balancedBinaryTree}(I)$$

$$w_1, \dots, w_n \leftarrow \text{sortiere } V(S) \text{ im UZS}$$

$$v \prec v' :\Leftrightarrow$$

$$\begin{aligned} &\angle v < \angle v' \text{ or} \\ &(\angle v = \angle v' \text{ and } |pv| < |pv'|) \end{aligned}$$



Sweep-Verfahren mit Rotation

Sichtbare Knoten berechnen

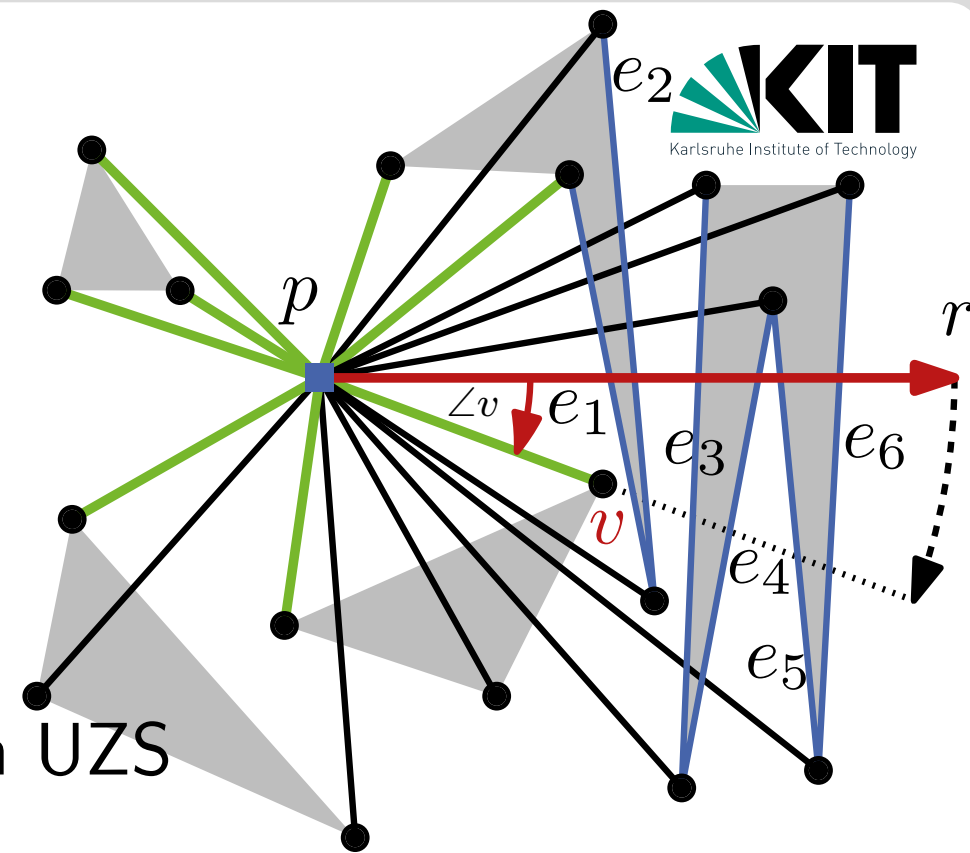
$\text{VISIBLEVERTICES}(p, S)$

$$r \leftarrow \{p + k \begin{pmatrix} 1 \\ 0 \end{pmatrix} \mid k \in \mathbb{R}_0^+\}$$

$$I \leftarrow \{e \in E(S) \mid e \cap r \neq \emptyset\}$$

$$\mathcal{T} \leftarrow \text{balancedBinaryTree}(I)$$

$$w_1, \dots, w_n \leftarrow \text{sortiere } V(S) \text{ im UZS}$$



Sichtbare Knoten berechnen

$\text{VISIBLEVERTICES}(p, S)$

$$r \leftarrow \{p + k \begin{pmatrix} 1 \\ 0 \end{pmatrix} \mid k \in \mathbb{R}_0^+\}$$

$$I \leftarrow \{e \in E(S) \mid e \cap r \neq \emptyset\}$$

$$\mathcal{T} \leftarrow \text{balancedBinaryTree}(I)$$

$$w_1, \dots, w_n \leftarrow \text{sortiere } V(S) \text{ im UZS}$$

$$W \leftarrow \emptyset$$

for $i = 1$ **to** n **do**

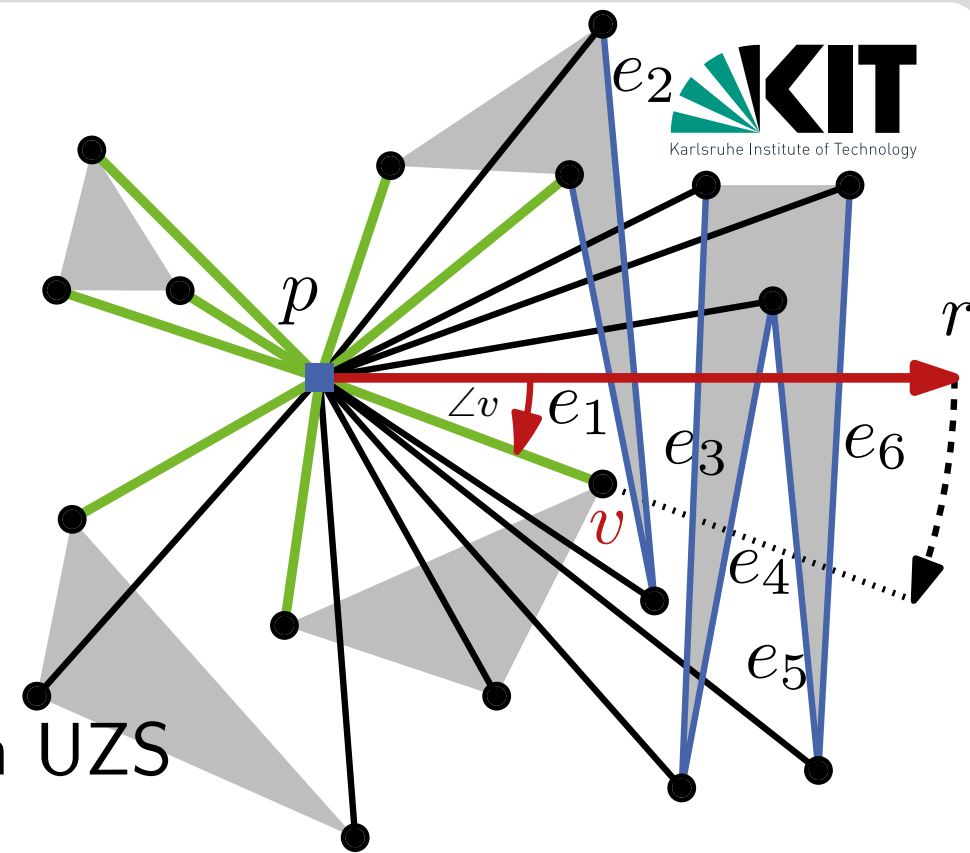
if $\text{VISIBLE}(p, w_i)$ **then**

$$\quad W \leftarrow W \cup \{w_i\}$$

 füge in \mathcal{T} zu w_i inzidente Kante aus $\overrightarrow{pw_i}^+$ ein

 lösche aus \mathcal{T} zu w_i inzidente Kanten aus $\overrightarrow{pw_i}^-$

return W



Sichtbare Knoten berechnen

$\text{VISIBLEVERTICES}(p, S)$

$$r \leftarrow \{p + k \begin{pmatrix} 1 \\ 0 \end{pmatrix} \mid k \in \mathbb{R}_0^+\}$$

$$I \leftarrow \{e \in E(S) \mid e \cap r \neq \emptyset\}$$

$$\mathcal{T} \leftarrow \text{balancedBinaryTree}(I)$$

$$w_1, \dots, w_n \leftarrow \text{sortiere } V(S) \text{ im UZS}$$

$$W \leftarrow \emptyset$$

for $i = 1$ **to** n **do**

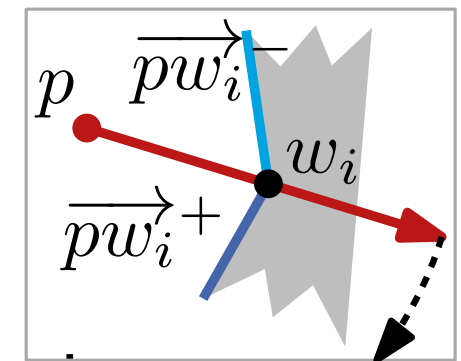
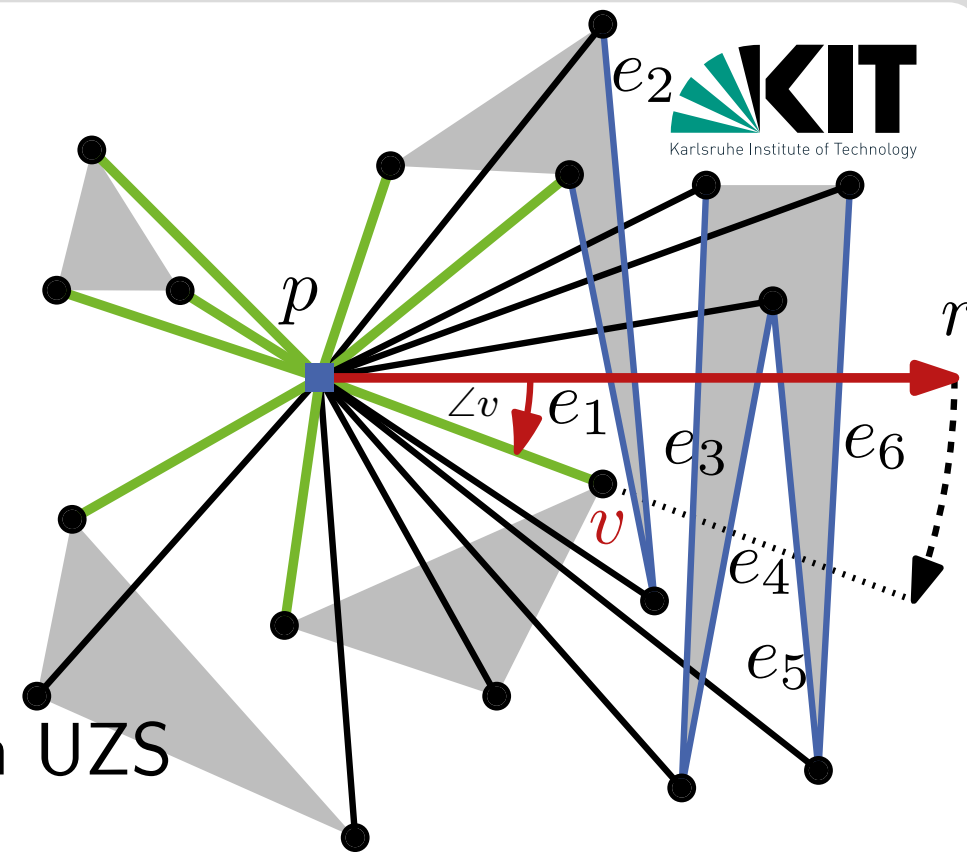
if $\text{VISIBLE}(p, w_i)$ **then**

$$\quad W \leftarrow W \cup \{w_i\}$$

füge in \mathcal{T} zu w_i inzidente Kante aus $\overrightarrow{pw_i}^+$ ein

lösche aus \mathcal{T} zu w_i inzidente Kanten aus $\overrightarrow{pw_i}^-$

return W



Sichtbare Knoten berechnen

$\text{VISIBLEVERTICES}(p, S)$

$$r \leftarrow \{p + k \begin{pmatrix} 1 \\ 0 \end{pmatrix} \mid k \in \mathbb{R}_0^+\}$$

$$I \leftarrow \{e \in E(S) \mid e \cap r \neq \emptyset\}$$

$$\mathcal{T} \leftarrow \text{balancedBinaryTree}(I)$$

$$w_1, \dots, w_n \leftarrow \text{sortiere } V(S) \text{ im UZS}$$

$$W \leftarrow \emptyset$$

for $i = 1$ **to** n **do**

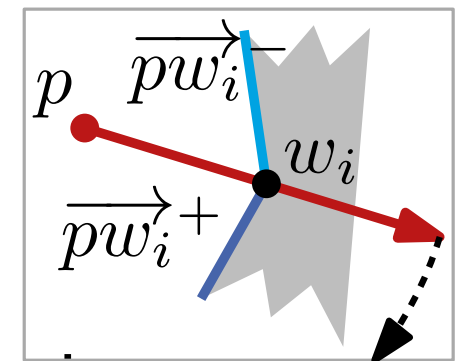
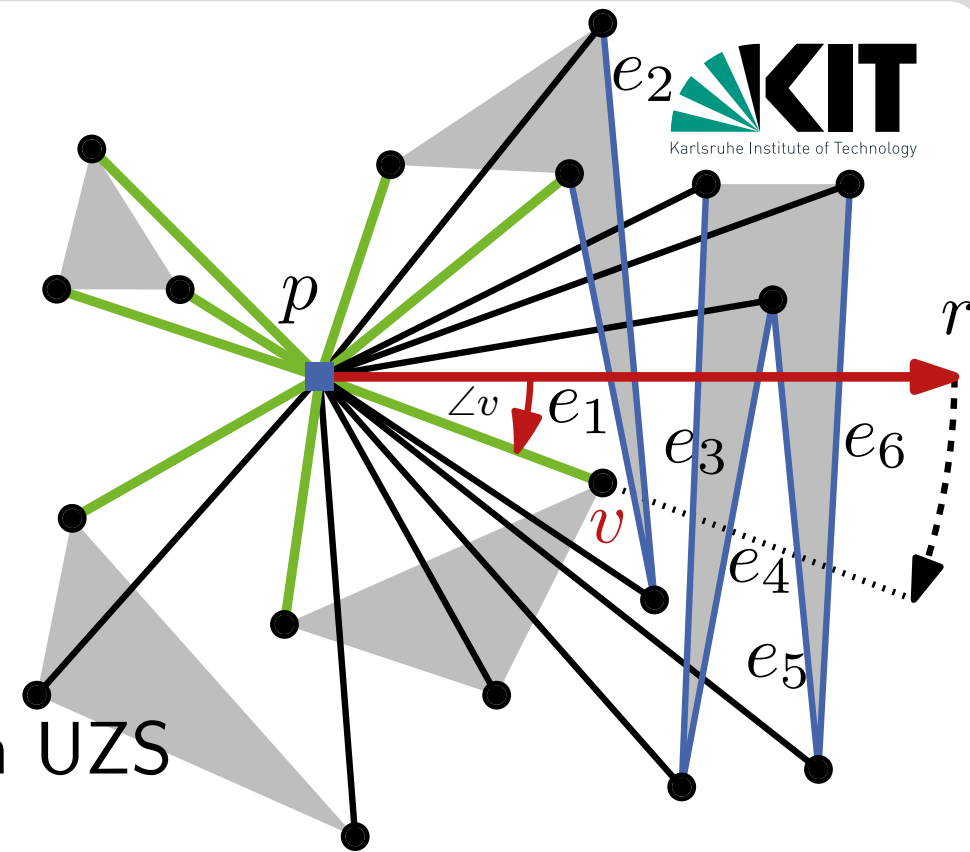
if $\text{VISIBLE}(p, w_i)$ **then**

$$W \leftarrow W \cup \{w_i\}$$

füge in \mathcal{T} zu w_i inzidente Kante aus $\overrightarrow{pw_i}^+$ ein

lösche aus \mathcal{T} zu w_i inzidente Kanten aus $\overrightarrow{pw_i}^-$

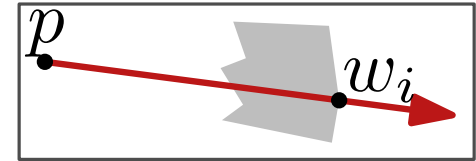
return W



Fallunterscheidung Sichtbarkeit

$VISIBLE(p, w_i)$

if $\overline{pw_i}$ schneidet Polygon von w_i **then**
└ **return false**



Fallunterscheidung Sichtbarkeit

$VISIBLE(p, w_i)$

if $\overline{pw_i}$ schneidet Polygon von w_i **then**
 | **return false**

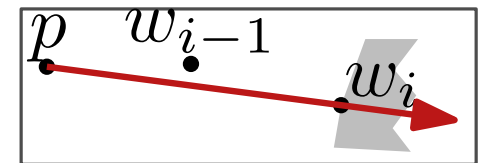
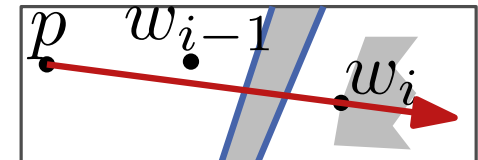
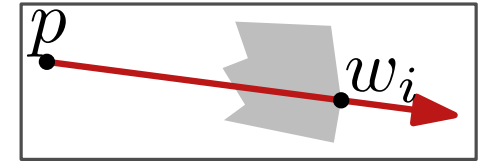
if $i = 1$ oder $w_{i-1} \notin \overline{pw_i}$ **then**

 | $e \leftarrow$ Kante im linkesten Blatt von \mathcal{T}

 | **if** $e \neq \text{nil}$ und $\overline{pw_i} \cap e \neq \emptyset$ **then**

 | **return false**

 | **else return true**



Fallunterscheidung Sichtbarkeit

$VISIBLE(p, w_i)$

if $\overline{pw_i}$ schneidet Polygon von w_i **then**
 | **return false**

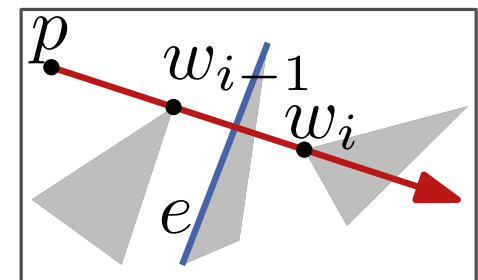
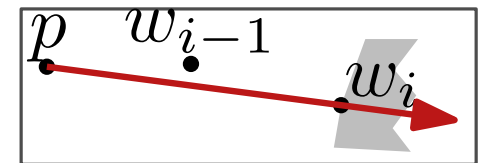
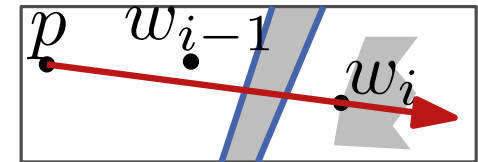
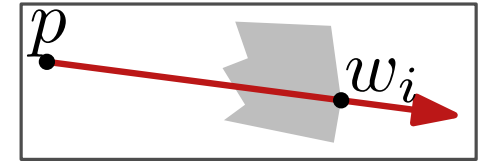
if $i = 1$ oder $w_{i-1} \notin \overline{pw_i}$ **then**
 | $e \leftarrow$ Kante im linkesten Blatt von \mathcal{T}
 | **if** $e \neq \text{nil}$ und $\overline{pw_i} \cap e \neq \emptyset$ **then**
 | **return false**
 | **else return true**

else

 | **if** w_{i-1} nicht sichtbar **then**
 | **return false**

 | **else**

 | $e \leftarrow$ suche Kante in \mathcal{T} , die $\overline{w_{i-1}w_i}$ schneidet
 | **if** $e \neq \text{nil}$ **then return false**
 | **else return true**



Zusammenfassung

Satz 1: Ein kürzester st -Weg in einem Gebiet mit Polygon-Hindernissen mit n Kanten kann in $O(n^2 \log n)$ Zeit berechnet werden.

Satz 1: Ein kürzester st -Weg in einem Gebiet mit Polygon-Hindernissen mit n Kanten kann in $O(n^2 \log n)$ Zeit berechnet werden.

Beweis:

- Korrektheit folgt direkt aus Lemma 1

Satz 1: Ein kürzester st -Weg in einem Gebiet mit Polygon-Hindernissen mit n Kanten kann in $O(n^2 \log n)$ Zeit berechnet werden.

Beweis:

- Korrektheit folgt direkt aus Lemma 1
- Laufzeit:
 - `VISIBLEVERTICES` benötigt $O(n \log n)$ Zeit pro Knoten
 - n Aufrufe von `VISIBLEVERTICES`

Satz 1: Ein kürzester st -Weg in einem Gebiet mit Polygon-Hindernissen mit n Kanten kann in $O(n^2 \log n)$ Zeit berechnet werden.

Beweis:

- Korrektheit folgt direkt aus Lemma 1
- Laufzeit:
 - `VISIBLEVERTICES` benötigt $O(n \log n)$ Zeit pro Knoten
 - n Aufrufe von `VISIBLEVERTICES` □

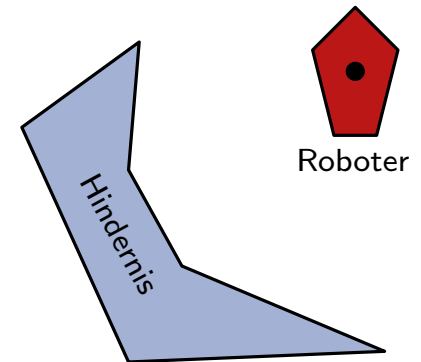
Roboter sind meistens nicht punktförmig...

Roboter sind meistens nicht punktförmig...

Für den Fall von Robotern, deren Grundfläche ein konvexes Polygon ist und die nicht rotieren können, geht es trotzdem durch geeignete Vergrößerung der Hindernisse (→ Minkowski-Summe, Kap. 13 in [BCKO08]).

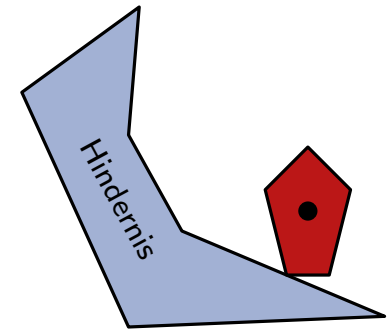
Roboter sind meistens nicht punktförmig...

Für den Fall von Robotern, deren Grundfläche ein konvexes Polygon ist und die nicht rotieren können, geht es trotzdem durch geeignete Vergrößerung der Hindernisse (→ Minkowski-Summe, Kap. 13 in [BCKO08]).



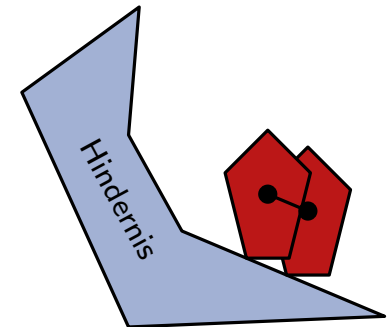
Roboter sind meistens nicht punktförmig...

Für den Fall von Robotern, deren Grundfläche ein konvexes Polygon ist und die nicht rotieren können, geht es trotzdem durch geeignete Vergrößerung der Hindernisse
(\rightarrow Minkowski-Summe, Kap. 13 in [BCKO08]).



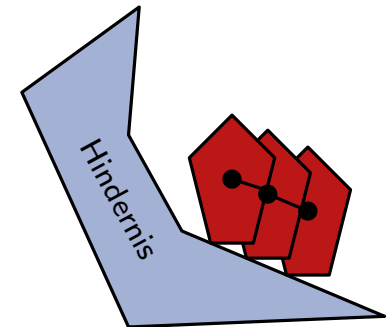
Roboter sind meistens nicht punktförmig...

Für den Fall von Robotern, deren Grundfläche ein konvexes Polygon ist und die nicht rotieren können, geht es trotzdem durch geeignete Vergrößerung der Hindernisse
(\rightarrow Minkowski-Summe, Kap. 13 in [BCKO08]).



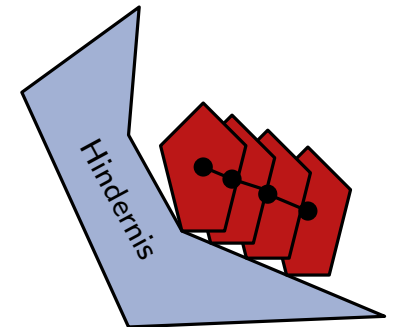
Roboter sind meistens nicht punktförmig...

Für den Fall von Robotern, deren Grundfläche ein konvexes Polygon ist und die nicht rotieren können, geht es trotzdem durch geeignete Vergrößerung der Hindernisse
(\rightarrow Minkowski-Summe, Kap. 13 in [BCKO08]).



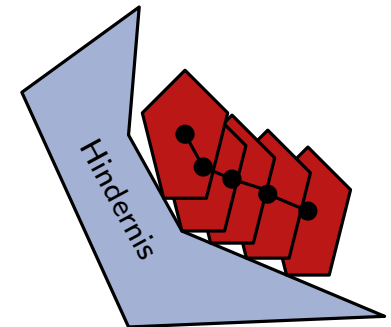
Roboter sind meistens nicht punktförmig...

Für den Fall von Robotern, deren Grundfläche ein konvexes Polygon ist und die nicht rotieren können, geht es trotzdem durch geeignete Vergrößerung der Hindernisse
(\rightarrow Minkowski-Summe, Kap. 13 in [BCKO08]).



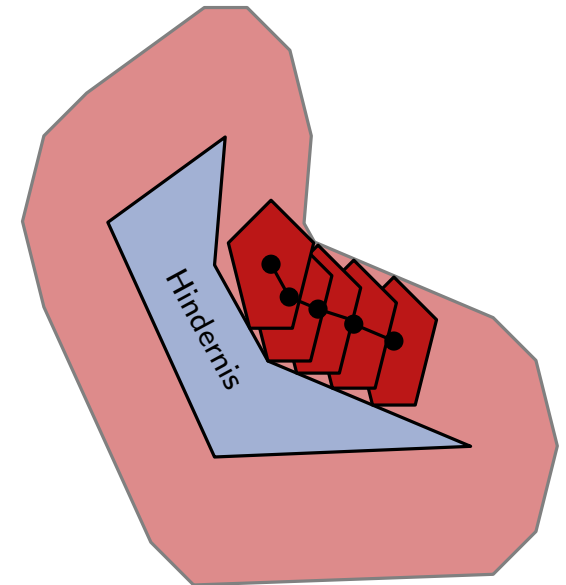
Roboter sind meistens nicht punktförmig...

Für den Fall von Robotern, deren Grundfläche ein konvexes Polygon ist und die nicht rotieren können, geht es trotzdem durch geeignete Vergrößerung der Hindernisse
(\rightarrow Minkowski-Summe, Kap. 13 in [BCKO08]).



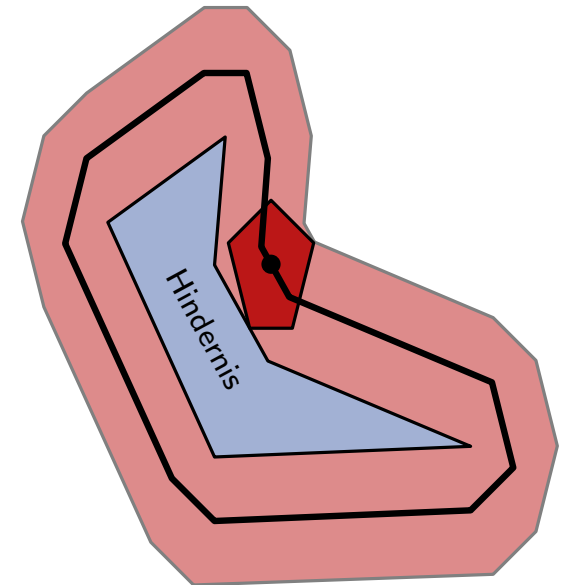
Roboter sind meistens nicht punktförmig...

Für den Fall von Robotern, deren Grundfläche ein konvexes Polygon ist und die nicht rotieren können, geht es trotzdem durch geeignete Vergrößerung der Hindernisse (→ Minkowski-Summe, Kap. 13 in [BCKO08]).



Roboter sind meistens nicht punktförmig...

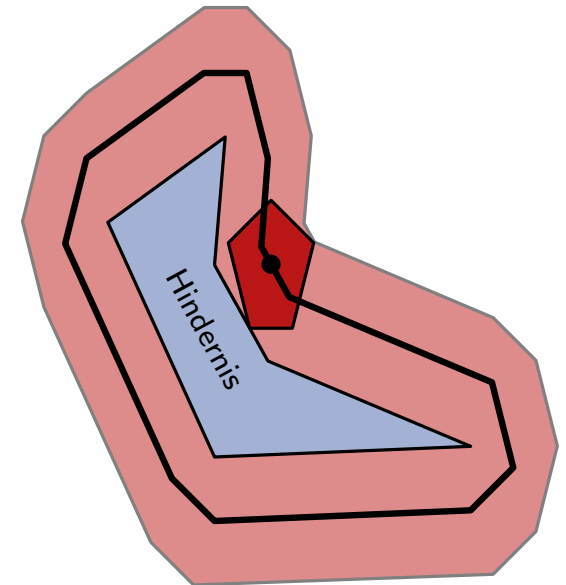
Für den Fall von Robotern, deren Grundfläche ein konvexes Polygon ist und die nicht rotieren können, geht es trotzdem durch geeignete Vergrößerung der Hindernisse
(\rightarrow Minkowski-Summe, Kap. 13 in [BCKO08]).



Roboter sind meistens nicht punktförmig...

Für den Fall von Robotern, deren Grundfläche ein konvexes Polygon ist und die nicht rotieren können, geht es trotzdem durch geeignete Vergrößerung der Hindernisse
(→ Minkowski-Summe, Kap. 13 in [BCKO08]).

Geht es schneller als $O(n^2 \log n)$?



Roboter sind meistens nicht punktförmig...

Für den Fall von Robotern, deren Grundfläche ein konvexes Polygon ist und die nicht rotieren können, geht es trotzdem durch geeignete Vergrößerung der Hindernisse
(\rightarrow Minkowski-Summe, Kap. 13 in [BCKO08]).

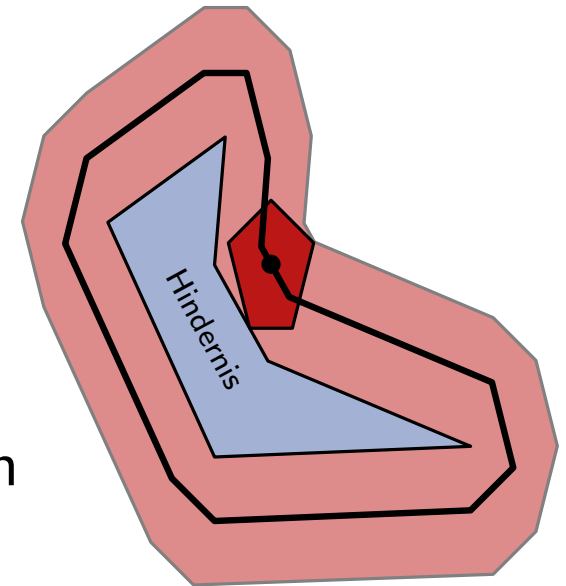
Geht es schneller als $O(n^2 \log n)$?

Ja, durch Ausnutzung der Dualität und einen simultanen Rotations-Sweep für alle Punkte im dualen Geradenarrangement geht es auch in $O(n^2)$. Da G_{vis} $\Omega(n^2)$ Kanten haben kann, lässt sich der

Sichtbarkeitsgraph im Allgemeinen auch nicht schneller konstruieren.

Es gibt jedoch einen ausgabesensitiven $O(n \log n + m)$ -Algorithmus.

[Ghosh, Mount 1987]



Roboter sind meistens nicht punktförmig...

Für den Fall von Robotern, deren Grundfläche ein konvexes Polygon ist und die nicht rotieren können, geht es trotzdem durch geeignete Vergrößerung der Hindernisse
(\rightarrow Minkowski-Summe, Kap. 13 in [BCKO08]).

Geht es schneller als $O(n^2 \log n)$?

Ja, durch Ausnutzung der Dualität und einen simultanen Rotations-Sweep für alle Punkte im dualen Geradenarrangement geht es auch in $O(n^2)$. Da G_{vis} $\Omega(n^2)$ Kanten haben kann, lässt sich der

Sichtbarkeitsgraph im Allgemeinen auch nicht schneller konstruieren.

Es gibt jedoch einen ausgabesensitiven $O(n \log n + m)$ -Algorithmus.

[Ghosh, Mount 1987]

Sucht man jedoch nur einen kürzesten Euklidischen st -Weg, gibt es einen Algorithmus mit optimaler Laufzeit $O(n \log n)$. [Hershberger, Suri 1999]

